

REGIONE PIEMONTE PROVINCIA DEL V.C.O.



COMUNE DI BEURA CARDEZZA

VARIANTE STRUTTURALE AL PIANO REGOLATORE GENERALE COMUNALE Progetto Definitivo

- Legge Regionale 5 dicembre 1977, n° 56 e s.m.i.;
- Circolare P.G.R. del 08.05.1996, n° 7/LAP "Specifiche tecniche per l'elaborazione degli studi geologici a supporto degli strumenti urbanistici", e successiva Nota Tecnica Esplicativa dicembre 1999;
- D.G.R. del 15/07/2002 n. 45-6656, approvazione della "Legenda Regionale per la redazione della carta geomorfologica e del dissesto dei P.R.G.C."
- Ordinanza P.C.M. n. 3274 del 20 marzo 2003, successiva D.G.R. del 17/11/2003 n. 61-11017 e Circ. P.G.R. 1/DOP 27-04-2004;
- "Variante del Piano Stralcio per l'Assetto Idrogeologico Variante delle Fasce Fluviali del F. Toce"; D.P.C.M. del 10/12/2004;
- D.G.R. n. 2-11830 del 28/07/2009, Allegato B

Elab.	
GEO-1	2

ANALISI MONOGRAFICA DELLE CONOIDI ALLUVIONALI (RII OGLIANA DI QUARATA, FIESCHI, OGLIANA DI POZZOLO, CUZZEGO, PRATA)

ALLEGATO 2

Aggiornamento a seguito delle Prescrizioni contenute nel Parere del Settore Prevenzione Territoriale del Rischio Geologico - Area di Torino, Cuneo, Novara e Verbania, con Nota del 16/05/2013, prot. n. 36495/DB14.20

Data: FEBBRAIO 2014 Adozione Progetto Preliminare

Delibera C.C. n° 14 del 28/06/2013

Adozione Progetto Definitivo Delibera C.C. n° del

IL SEGRETARIO COMUNALE IL SINDACO IL PROGETTISTA

dott. Cerizza Dario geom. Carigi Davide geol. D'Elia Francesco

IL RESPONSABILE DEL PROCEDIMENTO dott. Cerizza Dario

SOMMARIO

1. VALUTAZIONI DI MASSIMA DELLA PERICOLOSITÀ DEI CONOIDI	
1.1 METODI PER LA VALUTAZIONE DELLA PERICOLOSITÀ	
1.1.1 Indice di Melton 1.1.2 Metodo di Aulitzky (1973)	
1.2 CORRISPONDENZE TRA ZONIZZAZIONE, CLASSIFICAZIONE DELLE CONOIDI, ED ANALISI D AULITZKY	I
1.3 BREVI CENNI SU ALCUNE CONOIDI	
1.3.1. T. Ogliana di Quarata	
1.3.2. Conoide del T. Ogliana di Pozzolo	
1.3.2. Conoide del Rio di Prata 1.4 RAFFRONTO CON LA CLASSIFICAZIONE MORFOLOGICA ARPA ON-LINE	
2. CONOIDE ALLUVIONALE RIO OGLIANA DI QUARATA	
2.1 SCHEDA DI RILEVAMENTO	
2.2 VALUTAZIONE DELLA PERICOLOSITÀ DELLA CONOIDE ALLUVIONALE	
2.2.1 Melton (1965)	
2.2.2 Aulitzky (1973) 2.2.3 Conclusioni	
2.3 VALUTAZIONE EMPIRICA DEI VOLUMI DI SEDIMENTO POTENZIALMENTE TRASPORTATI DALLI	
2.3.1. Metodo di Hampel (1977) 2.3.2. Metodo di Marchi et Al. (1996)	
2.3.2. Metodo di Marchi et Al. (1996)	
2.3.3. Metodo di Rickenmann (1997)	
3. CONOIDE ALLUVIONALE RIO FIESCHI	
3.1 SCHEDA DI RILEVAMENTO	
3.2 VALUTAZIONE DELLA PERICOLOSITÀ DELLA CONOIDE ALLUVIONALE	
3.2.1 Melton (1965)	
3.2.2 Aulitzky (1973)	
3.3 VALUTAZIONE EMPIRICA DEI VOLUMI DI SEDIMENTO POTENZIALMENTE TRASPORTATI DALLI	
COLATE DETRITICHE	
3.3.1. Metodo di Hampel (1977)	
3.3.3. Metodo di Niai chi ci zi. (1997)	
4. CONOIDE ALLUVIONALE TORRENTE OGLIANA DI POZZOLO	
4.1 SCHEDA DI RILEVAMENTO	
4.2 VALUTAZIONE DELLA PERICOLOSITÀ DELLA CONOIDE ALLUVIONALE	
4.2.1 Melton (1965)	
4.2.2 Aulitzky (1973)	
4.3 VALUTAZIONE EMPIRICA DEI VOLUMI DI SEDIMENTO POTENZIALMENTE TRASPORTATI DALLI	E
COLATE DETRITICHE	
4.3.1. Metodo di Hampel (1977)	
4.3.2. Metodo di Marchi et Al. (1996)	
3.3.3. Metodo di Rickenmann (1997)	
5. CONOIDE ALLUVIONALE RIO DI CUZZEGO	
5.1 SCHEDA DI RILEVAMENTO	

5.2 VALUTAZIONE DELLA PERICOLOSITÀ DELLA CONOIDE ALLUVIONALE	_ 31
5.2.1 Melton (1965)	_ 31
5.2.2 Aulitzky (1973)	_ 31
5.3 VALUTAZIONE EMPIRICA DEI VOLUMI DI SEDIMENTO POTENZIALMENTE TRASPORTATI DALLE COLATE DETRITICHE	32
5.3.1 Metodo di Hampel (1077)	$-\frac{32}{32}$
5.3.1. Metodo di Hampel (1977)	$-\frac{32}{32}$
5.3.3. Metodo di Maichi et Al. (1990)	-32
6. CONOIDE ALLUVIONALE RIO DI PRATA	_ 33
6.1 SCHEDA DI RILEVAMENTO	_ 33
6.2 VALUTAZIONE DELLA PERICOLOSITÀ DELLA CONOIDE ALLUVIONALE	_ 37
6.2.1 Melton (1965)	_ 37
6.2.2 Aulitzky (1973)	_ 37
6.3 VALUTAZIONE EMPIRICA DEI VOLUMI DI SEDIMENTO POTENZIALMENTE TRASPORTATI DALLE COLATE DETRITICHE	38
	- 38
6.3.1. Metodo di Hampel (1977)	- 38 38
6.3.2 Motodo di Dickonmann (1007)	- 38 38
6.3.3. Metodo di Rickenmann (1997)	_ >0

<u>Allegati</u>

- ✓ Estratti cartografici delle conoidi, tratti dal Sito ARPA on-line
- ✓ Schemi sezioni apicali (scale 1: 200, 1: 1.000)
- ✓ Carta degli elementi morfologici, dei punti critici e dei punti di osservazione e misura conoide Rio Ogliana di Quarata (scala 1: 4.000)
- ✓ Estratto semplificato dalla Carta della zonizzazione e della idoneità urbanistica (Tav. 8a) del P.R.G.C. di Trontano (scala 1: 4000)
- ✓ Carte tematiche e di sintesi, relative alla classificazione secondo Aulitzky delle conoidi dei Rii Fieschi, Ogliana di Pozzolo, di Cuzzego e di Prata (scale 1:2.000, 1:2.500, 1:5.000)

1. VALUTAZIONI DI MASSIMA DELLA PERICOLOSITÀ DEI CONOIDI

Per la valutazione del grado di pericolosità geomorfologica dei conoidi del T. Ogliana di Quarata, Rio Fieschi, T. Ogliana di Pozzolo, Rio di Cuzzego e Rio di Prata (rappresentanti gli apparati deposizionali principali del Territorio Comunale), sono state compilate, in primo luogo, le schede di rilevamento fornite dalla Regione Piemonte, Settore Prevenzione del Rischio Geologico, Meteorologico e Sismico.

Tale scheda comprende una parte (scheda-allegato 1) di rilevamento dei caratteri fisici del conoide; il rilievo di dettaglio ha permesso di definire le caratteristiche morfologiche e tipologiche essenziali, unitamente a vari dati dimensionali sia del conoide che dell'alveo.

In secondo luogo sono stati applicati differenti metodi di valutazione della pericolosità da esondazione e di stima della magnitudo di un possibile evento alluvionale.

Premesso che la stima del trasporto di sedimenti, che possono essere coinvolti da un torrente, costituisce una problematica fondamentale per la valutazione del rischio a cui sono sottoposte le aree soggette ad alluvioni, sono state considerate in questo lavoro diverse relazioni empiriche, le quali tentano di dare una stima quantitativa sulla base di diversi parametri.

Va detto innanzitutto che i singoli metodi sono stati elaborati secondo un criterio statistico: i vari Autori si sono basati infatti su situazioni reali e specifiche. Una tale condizione limita quindi notevolmente l'uso di tali metodi quando vengono riferiti a casi diversi da quelli per cui sono stati formulati: le differenze litologiche, morfologiche e climatiche infatti, possono essere tali da non rendere confrontabili aree differenti e l'applicazione delle relazioni considerate può risultare in realtà opinabile. La litologia, ad esempio, risulta essere, a parità di estensione del bacino, un parametro in grado di amplificare anche di due o tre volte il volume di sedimenti prodotto da un *debris flow*; allo stesso modo le precipitazioni possono manifestarsi con intensità differente, dando luogo ad eventi impulsivi e violenti.

In particolare si vuole sottolineare che i vari metodi si riferiscono a contesti fisiografici diversi, quali le Alpi austriache e svizzere (metodi di Aulitzky e Rickenmann) o trentine (lavori di Marchi), che differiscono sensibilmente per diversi motivi (litologia, morfologia, clima) dall'ambito geografico nel quale si colloca il territorio in esame, pertanto, l'applicazione dei metodi sopra elencati, può fornire risultati non pienamente rappresentativi sia dell'effettivo grado di pericolosità che della magnitudo alle quali sono soggetti i conoidi.

Nei paragrafi seguenti verranno brevemente presentati i metodi utilizzati per la stima della pericolosità e della magnitudo di una possibile colata. Per quanto riguarda la prima, sono stati presi in considerazione due metodi: il METODO DI AULITZKY e l'INDICE DI MELTON; per la seconda le relazioni proposte da HAMPEL, MARCHI, e RICKENMANN.

Le conoidi minori, edificate dal Rio Crotto, Rio Carbonera e Rio Cà di Là (coalescenti con quella di Cuzzego) e la conoide del Rio Cascine di Sotto, non sono state oggetto di analisi di Aulitzky, ma la loro classificazione nella carta geomorfologica, è stata attribuita mediante criteri geomorfologici cautelativi.

1.1 METODI PER LA VALUTAZIONE DELLA PERICOLOSITÀ

1.1.1 INDICE DI MELTON

Il numero di Melton è un importante parametro per la valutazione del grado di pericolosità di un conoide: si tratta infatti, di un indice espressivo delle sue condizioni di rilievo ed acclività.

Tale indice viene determinato con l'espressione:

$$Mel = A^{-0.5} (H_{max} - H_{min})$$

in cui

- A è la superficie del bacino in km 2 ;
- $(H_{\text{max}} H_{\text{min}})$ è la differenza, espressa in km, fra la quota massima del bacino e la quota della sezione di chiusura, che coincide generalmente con l'apice del conoide.

Appartengono alla categoria dei bacini a rischio di debris flow e/o debris flood quelli caratterizzati da valori di Mel e della pendenza S del conoide (espressa in gradi), tali da soddisfare la disequazione:

$$S > 7 - 14 \cdot Mel$$

Nel caso in cui non sia presente o non sia morfologicamente ben definito il cono di deiezione, occorre far riferimento unicamente al numero di Melton: se quest'ultimo supera il valore critico di 0.5 si ha rischio di debris flow e/o debris flood.

É possibile considerare la tipologia dei fenomeni alluvionali ai quali è soggetto un conoide, mettendo in relazione l'indice di Melton e la pendenza dei conoidi. Diagrammando tali dati, si ottiene una ripartizione dei processi costitutivi dei conoidi in tre classi: *conoidi da debris flow*, da *trasporto solido* e di *tipo misto*.

Per il bacini analizzati, si ottengono i seguenti risultati (ripresi in dettaglio nelle singole schede):

- <u>T. Ogliana di Quarata</u>: $(A = 9.71 \text{ km}^2; H_{\text{max}} H_{\text{min}} = 1.97 \text{ km})$ l'indice di Melton è di 0.63; considerando la pendenza del conoide, l'apparato ricade nella classe soggetta a pericolo di debris flow.
- Rio Fieschi: $(A = 0.76 \text{ km}^2; H_{\text{max}} H_{\text{min}} = 0.92 \text{ km})$ l'indice di Melton è di 1.06; il conoide ricade nella classe soggetta a pericolo di debris flow.
- <u>T. Ogliana di Pozzolo</u>: (A = 13.72 km²; H_{max} H_{min} = 1.82 km) l'indice di Melton è di 0.50; considerando la pendenza del conoide, l'apparato ricade nelle conoidi di tipo misto.
- Rio di Cuzzego: (A = 1.66 km²; H_{max} H_{min} = 1.43 km) l'indice di Melton è di 1.11; il conoide ricade nella classe soggetta a pericolo di debris flow.
- Rio di Prata: (A = 3.45 km²; H_{max} H_{min} = 1.77 km) l'indice di Melton è di 0.95; il conoide ricade nella classe soggetta a pericolo di debris flow.

1.1.2 Metodo di Aulitzky (1973)

Il metodo si basa sull'osservazione ed il rilevamento in campagna dei cosiddetti "segni muti" che ogni torrente lascia lungo il suo conoide e che, se giustamente interpretati, danno una buona indicazione dell'entità di eventi di piena antichi, presupponendo che quanto avvenuto in passato possa eventualmente ripetersi in futuro.

La prima operazione consiste nel cartografare le possibili vie preferenziali di disalveamento, sulla base delle osservazioni della morfologia del terreno, fatte sia con sopralluoghi sia con l'aiuto delle foto aeree, al fine di restringere l'area nella quale sviluppare le successive indagini; segue poi il rilevamento specifico che consiste nel rispondere a sei domande. Per ciascuna di esse il metodo prevede quattro possibili risposte alle quali sono associati quattro diversi punteggi (si veda tabella a pagina seguente).

I quesiti riguardano la dimensione massima del materiale trasportato o eroso di recente, il massimo spessore del singolo strato dei depositi, la pendenza del conoide, la copertura vegetale predominante, la morfologia del terreno, le condizioni di deflusso.

Al fine di valutare in modo adeguato i processi dominanti, il conoide viene suddiviso in settori: a ciascun settore (che non è necessariamente assimilabile ad una figura geometrica regolare) viene associato un punteggio in funzione della risposta ai quesiti sopra elencati. Alle aree con uguale punteggio sono associati specifici colori, al fine di rappresentare in carta, separatamente, ciascuna domanda: sovrapponendo le carte parziali così ottenute e dividendo il punteggio ottenuto in ciascun settore per il numero dei parametri analizzati, si ottiene il punteggio finale, che viene confrontato con la seguente classificazione di pericolosità:

punteggio totale ≤ 1.6 pericolosità medio-moderata

1.6 < punteggio totale < 2.6 pericolosità elevata

punteggio totale > 2.6 pericolosità molto elevata

Il risultato finale è rappresentato da una carta della pericolosità nella quale sono differenziati i vari settori dei conoidi, redatta in scala 1: 5.000 su base CTR: la notevole articolazione della pericolosità è stata mantenuta anche a livello grafico, allo scopo di evidenziare i diversi settori, nell'ambito della pianificazione territoriale, scopo della presente indagine.

Per gli elementi morfologici in conoide, si deve invece fare riferimento alla tavola geomorfologica.

OSSERVAZIONI E DOMANDE	PUNTEGGIO	OSSERVAZIONI E DOMANDE	PUNTEGGIO
1. Dimensione massima del materiale trasportato o eroso di recente a) 1 mc e oltre b) tra 0.2 mc e 1 mc c) tra 0.01 mc e 0.2 mc d) inferiore a 0.01 mc	4 3 2 1	 5. Morfologia del terreno in relazione all'erosione: a) Alla sommità del conoide la dorsale presenta una solcatura prodotta dall'erosione di grossi massi, che classifica queste aree tra quelle già colpite o con possibilità di colata 	4
Massimo spessore del singolo strato dei depositi riconoscibili, differen-ziato dall'orizzonte umifero o da uno strato con differente struttura: 1 m e oltre da 0.5 a 1 m		concentrata e compatta ad alta velocità b) Sono presenti poche forme di deposito circoscritte, che sono state disseminate dalla dilagante colata, oppure che sono state sommerse in occasione dell'ulteriore dilagare della colata stessa	2
c) da 0.1 a 0.5 m d) meno di 0.1 3. Pendenza del cono di deiezione:	1	Superfici chiaramente sopraelevate, pensili rispetto al livello del torrente, che potrebbero essere colpite solo in caso di una progressiva ostruzione dell'alveo normale	
a) Superiore al 15%b) tra 7 e 15%c) tra 2 e 7%d) inferiore al 2%	3 2 1	d) Superfici fortemente sopraelevate rispetto al letto del torrente profondamente incassato, che non possono più essere raggiunte dal torrente, ma in cui i punti di collegamento tra le due sponde	1
4. Attuale copertura vegetale predominante: a) Vegetazione in prevalenza rustica, consorzi ontano-salice su substrato grossolano, sassoso, fino ad una successione di specie di origine anemofila con larici, pini e abeti. b) Successione già evoluta, progredita fino a formazioni coetanee formate da	3	possono essere ancora portati via. 6. Condizioni di deflusso: a) Area contraddistinta dalla presenza di manufatti che impediscono fortemente il deflusso o altri ostacoli al deflusso, a monte, a valle o a lato della zona in esame (pendenza < 3%, curve strette, sezione ristretta) che in presenza di maggiore materiale trascinato dall'acqua possono provocare tracimazioni.	4
larici, pini, betulle e abeti, su substrato grossolano e sassoso. c) Prati e pascoli, talvolta intercalati da muretti di sassi o da terrazzamenti formati da sassi lavorati; terreno misto con piccoli sassi.	2	b) Area contraddistinta da analoghe situazioni, in cui solo legname trascinato o materiale di deposito grossolano provocherebbero tracimazioni c) Area contraddistinta dalla mancanza di	3
d) Prevalgono i campi senza muretti di sassi o i terrazzamenti formati da sassi lavorati; pochi o piccoli sassi nel terreno.	1	opere che ostacolino o facilitino il deflusso, in presenza di un alveo abbastanza profondo e non troppo piano e di una sufficiente capacità di deflusso d) Area contraddistinta dalla presenza di tipi di opere facilitanti il deflusso lungo il corso inferiore, in grado di contenere anche le portate di piena	1

1.2 CORRISPONDENZE TRA ZONIZZAZIONE, CLASSIFICAZIONE DELLE CONOIDI, ED ANALISI DI AULITZKY

Nelle schede originali di rilevamento delle conoidi secondo Aulizky, gli apparati si distinguono in "attivi", "stabilizzati (naturalmente)" e "stabilizzati per interventi di regimazione"; questo tipo di classificazione trova poco riscontro sia nello stato di fatto del territorio comunale (essendo tutte le conoidi regimate da interventi di sistemazione idraulica, pur senza poter essere considerate del tutto "stabilizzate"), sia secondo le indicazioni della Legenda Regionale per la redazione della Carta del dissesto dei PRGC che, più coerentemente, distingue tra conoidi attivi a differente pericolosità e con presenza o assenza di opere di regimazione, e conoidi non attive, a prescindere dalla presenza di opere di regimazione.

Per evitare incongruenze, nella legenda della carta geomorfologica di Beura Cardezza, si è fatto riferimento alla terminologia ed ai codici della Legenda Regionale, utilizzando, come dato di partenza dalla classificazione di Aulitzky, i punteggi della pericolosità di esondazione (costituente la sintesi delle 6 domande del Metodo), senza considerare le definizioni dei tipi di conoide.

Le analisi tengono conto anche di alcuni aspetti (pendenza attuale del conoide, presenza di opere di difesa idraulica, presenza di manufatti antropici che possono deviare o incanalare una eventuale colata, ecc.), normalmente non considerati dalla classificazione di Aulitzky.

All'interno degli apparati di conoide, non sono presenti piazze di deposito significative; le colate detritiche, riconosciute in base ad osservazioni sul terreno, sono generalmente circoscritte all'interno dell'area con pendenza >3°, che rappresenta il limite oltre il quale non avvengono trasporti di massa, a causa delle pendenze insufficienti per tale tipo di moto.

La corrispondenza della zonizzazione con i risultati ottenuti dall'analisi di Aulitzky, può essere sintetizzata nella seguente tabella, in cui si forniscono anche i riferimenti ai dissesti areali della classificazione PAI, in accordo con le indicazioni della Regione Piemonte, per la trasposizione del quadro del dissesto, compatibile con la base dati di Settore gestita dal CSI Piemonte (Tabelle di decodifica dei dissesti PAI):

Pericolosità da esondazione	Classificazione secondo la Legenda Regionale	Classificazione secondo la Legenda PAI	Classi di zonizzazione
Molto elevata	CAe2	<u>Cp</u>	IIIA, IIIB4, IIIB3
Elevata	CAb2	<u>Ср</u>	IIIA, IIIB3, IIIB2β
Medio-moderata	CAm2	<u>Cn</u>	IIIA, IIIB2β, IIIB2α, II
I	<u>cs</u>	<u>Cn</u>	II

1.3 Brevi cenni su alcune conoidi

1.3.1. T. Ogliana di Quarata

Per quanto riguarda la conoide del T. Ogliana di Quarata, ricadente per lo più nel territorio comunale di Trontano e presente solo con una ridotta porzione all'interno del territorio di Beura Cardezza, è stata inserita la scheda di rilevamento, tratta dagli elaborati del P.R.G. Vigente di Trontano.

Per quanto riguarda la classificazione di tale conoide, sono necessarie alcune considerazioni:

- Nella scheda allegata, che riporta acriticamente la classificazione delle conoidi utilizzata nel P.R.G. di Trontano, l'apparato della conoide viene classificato come "potenzialmente attivabile per trasporti in massa" e "stabilizzato per interventi di regimazione", così come indicato dalle schede di Aulitzky.
- Tale dicitura non ha riscontro con quella utilizzata per le altre conoidi del territorio di Beura Cardezza, in cui la classificazione si divide in "conoidi a pericolosità molto elevata, elevata o medio-moderata".
- Per omogeneità, nell'elaborato GEO3 "Carta Geomorfologica", la classificazione della scheda del T.
 Ogliana è stata omologata a quella degli altri apparati, utilizzando le corrispondenze: "potenzialmente attivabile" = "conoide a pericolosità elevata" e "stabilizzato per interventi di regimazione" = "conoide a pericolosità medio-moderata".

1.3.2. Conoide del T. Ogliana di Pozzolo

Nell'abitato di Beura, si trova una vecchia roggia irrigua di derivazione, posta in sponda sinistra del T. Ogliana; tale roggia parte dal settore apicale della conoide, attraversa la S.P. e corre lungo i prati posti a valle, passando in prossimità della chiesa di S. Clemente.

L'alimentazione di tale roggia è regolata da una paratia che, in occasione di eventi alluvionali, può essere chiusa; va inoltre notato che, in ogni caso, immediatamente dopo la suddetta paratia, l'ingresso alla tratta intubata iniziale della roggia, è protetto da una grata che impedisce l'afflusso di materiale solido.

Pertanto, anche ipotizzando le condizioni più gravose (mancata azione di chiusura delle paratie e roggia invasa da vegetazione erbacea nei tratti a valle della S.P., ad impedire un regolare deflusso), potrebbero verificarsi solo laminazioni di acque a bassa energia, circoscritte all'immediato intorno della roggia, e conseguentemente valutate in fase di zonizzazione.

1.3.2. Conoide del Rio di Prata

Per quanto riguarda la conoide del Rio Prata, ricadente per lo più nel territorio comunale di Vogogna e presente solo con una ridotta porzione all'interno del territorio di Beura Cardezza, sono state inserite le tavole di Aulitzky, tratte dagli elaborati del P.R.G. Vigente di Vogogna.

1.4 RAFFRONTO CON LA CLASSIFICAZIONE MORFOLOGICA ARPA ON-LINE

Sul sito on-line di ARPA Piemonte, Catalogo Servizi Informativi: Processi di dissesto - Processi fluvio torrentizi - Conoidi, è consultabile la mappatura di oltre 2000 apparati di conoide alluvionale, classificati sulla base di criteri morfologici, a cura del Dipartimento Geologia e Dissesto di Arpa Piemonte.

Le conoidi ricadenti (in tutto o in parte) all'interno del territorio comunale, sono state edificate dai seguenti corsi d'acqua, da Nord a Sud: T. Ogliana di Quarata (parte), Rio Fieschi, T. Ogliana di Pozzolo, Rio Crotto, Rio di Cuzzego, Rio Carbonera, Rio Cà di Là, Rio Cascine di Sotto, Rio di Prata (parte), in perfetto accordo con le conoidi effettivamente riportate negli elaborati di P.R.G.; di seguito, viene presentato in allegato, un estratto cartografico delle conoidi, come riportate dal sito ARPA.

La classificazione geomorfologica, utilizzata sul sito ARPA, per quanto riguarda le conoidi nell'ambito di Beura Cardezza, fa riferimento alle seguenti cinque definizioni: "Settore di conoide con canale attivo", "Settore di conoide con evidenze di processi recenti", "Conoide o settore di conoide morfologicamente correlato al canale attivo", "Settore di conoide di difficile interpretazione", "Settore di conoide modellato da tributario e recettore".

Tali definizioni, non hanno corrispondenze intuitive con le classificazioni della Legenda Regionale, né con quelle del PAI, a cui invece fa obbligatoriamente riferimento il P.R.G.C.; per completezza di trattazione, vengono di seguito espresse alcune considerazioni sul raffronto tra la classificazione ARPA e quella utilizzata nella Carta Geomorfologica, conforme alla Legenda Regionale.

<u>Perimetrazioni delle conoidi</u>: tutte le rappresentazioni areali delle conoidi, riportate sul sito ARPA, sono ben correlabili a quelle riportate dagli elaborati del P.R.G.C., sia pure con talune, modeste discrasie; le uniche differenze significative, si riscontrano presso la conoide del T. Ogliana di Pozzolo, trattata di seguito.

<u>"Settore di conoide con canale attivo"</u>: per tutte le conoidi, corrisponde all'incirca con l'alveo ordinario del corso d'acqua, classificato come CAe1.

<u>T. OGLIANA DI QUARATA</u>; il settore ricadente nel territorio di Beura Cardezza, classificato da ARPA "Settore di conoide morfologicamente correlato al canale attivo", corrisponde alla conoide CAm2.

RIO FIESCHI; a parte l'alveo attivo, ARPA classifica la conoide interamente come "Conoide o settore di conoide morfologicamente correlato al canale attivo", mentre le scrupolose analisi di dettaglio a supporto del P.R.G.C., hanno permesso di individuare settori a differente pericolosità (CAe2, CAb2, CAm2).

<u>T. OGLIANA DI POZZOLO</u>; la perimetrazione della conoide ARPA, è molto più ampia rispetto a quella riportata dal P.R.G., spingendosi sino all'alveo del F. Toce, inserendo, in particolare, un ampia fascia di "Settore di conoide di difficile interpretazione" (comprendente sia terreni obliterati dallo scalo ferroviario Domo 2, sia terreni naturali con morfologia pianeggiante), oltre ad un "Settore di conoide modellato da

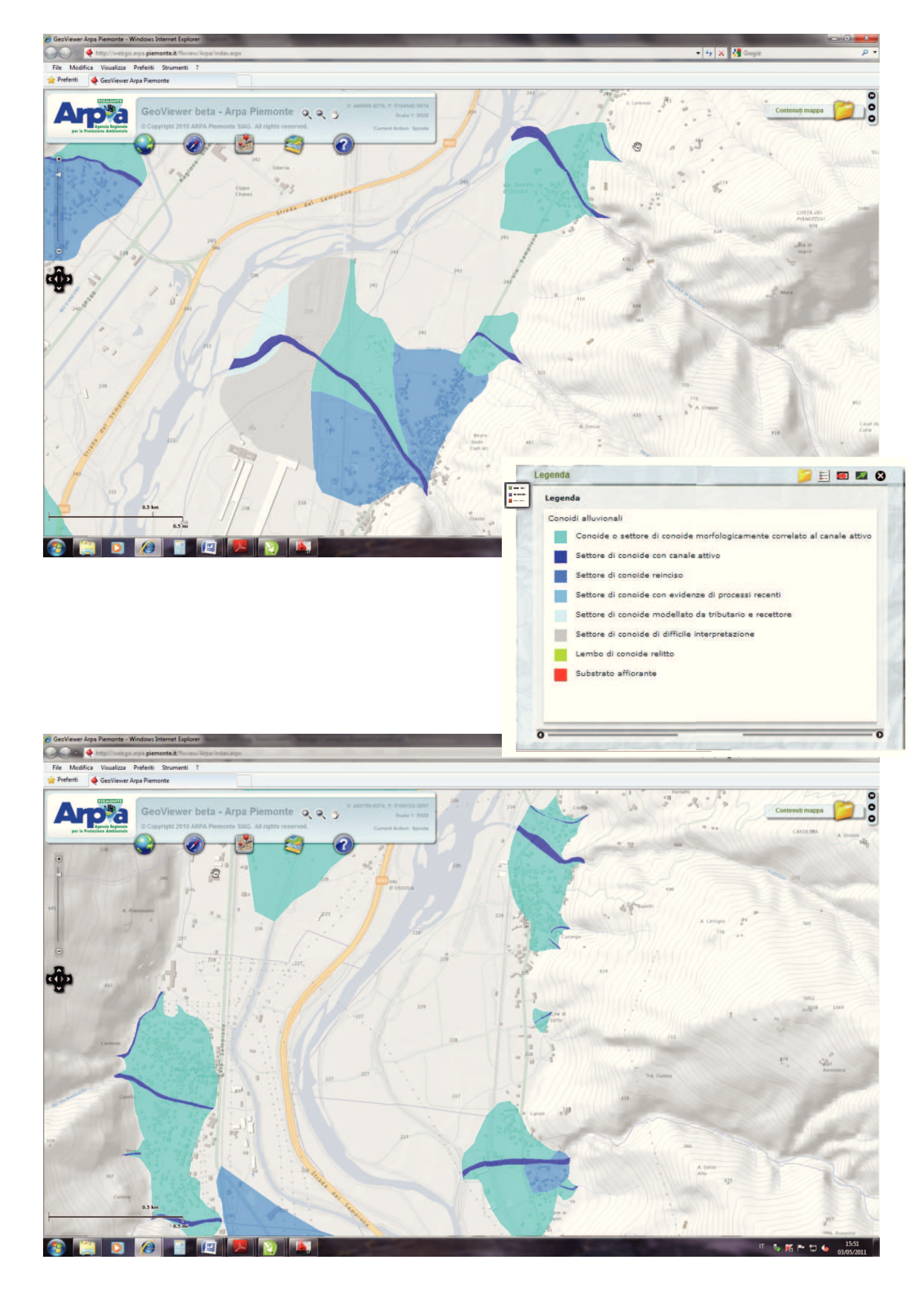
tributario e recettore" (interno alla Fascia A del PAI ed interamente attribuibile alla dinamica deposizionale del Toce); viene pertanto confermata la perimetrazione riportata dagli elaborati di P.R.G.

Per quanto riguarda, invece, il resto dell'apparato deposizionale, nella zona medio-apicale, ARPA classifica la conoide come "Settore di conoide con evidenze di processi recenti" e "Conoide o settore di conoide morfologicamente correlato al canale attivo"; le analisi a supporto del P.R.G.C., hanno permesso di individuare settori a differente pericolosità (CAe2, CAb2, CAm2) e, in particolare, è stata delimitata una modesta fascia di terreni, come conoide stabilizzata CS, a valle dell'imponente rilevato ferroviario, ormai assolutamente non più soggetta alle dinamiche del corso d'acqua, che invece l'ARPA attribuisce ai "Settori di conoide con evidenze di processi recenti". Si ritiene di confermare la classificazione del P.R.G.

RIO CROTTO, RIO DI CUZZEGO, RIO CARBONERA, RIO CÀ DI LÀ: conoidi coalescenti; a parte l'alveo attivo, ARPA classifica le conoidi interamente come "Conoide o settore di conoide morfologicamente correlato al canale attivo", mentre le scrupolose analisi di dettaglio a supporto del P.R.G.C., hanno permesso di individuare settori a differente pericolosità (CAe2, CAb2, CAm2).

<u>C.NE DI SOTTO</u>: ARPA classifica la modesta conoide come "*Conoide o settore di conoide morfologicamente correlato al canale attivo*"; il P.R.G. la classifica a pericolosità elevata CAb2.

RIO DI PRATA; il settore ricadente nel territorio di Beura Cardezza, classificato da ARPA "Settore di conoide morfologicamente correlato al canale attivo", corrisponde alla conoide CAm2.



2. CONOIDE ALLUVIONALE RIO OGLIANA DI QUARATA

2.1 SCHEDA DI RILEVAMENTO

Le valutazioni relative alla conoide del Rio Ogliana di Quarata sono tratte dagli elaborati prodotti a corredo del P.R.G.C. del Comune di Trontano (*Studio Geologico D'Elia – aprile 2007*) ed, in particolare, dall'Allegato 3 *Schede monografiche relative alle principali conoidi*.

CONOIDE: Rio Ogliana di Quarata

CORSO D' ACQUA RICETTORE: F. TOCE

Posizione rispetto corso d'acqua ricettore: sx

Sezione C.T.R. di riferimento: 051120 Villadossola

CONOIDE STABILIZZATO PER INTERVENTI DI REGIMAZIONE

INQUADRAMENTO MORFOLOGICO

Conoide attualmente sospeso rispetto al fondovalle principale

DANNI (RILEVATI O DA TESTIMONIANZE LOCALI)

Centro abitato: danneggiato (A)

Viabilità: danneggiata (E)

Attraversamenti: danneggiati (G)

Opere idrauliche: danneggiate (I)

Manufatti in genere: danneggiati (M)

Anni: 7 ago 1978 A, E, G, I, M

Tracce dell'altezza raggiunta dalla massa fluida di detriti m= 2.90 m (da testimonianze locali)

OSSERVAZIONI SUL CANALE IMMEDIATAMENTE A MONTE DELL' APICE

Caratteristiche generali prevalenti

alveo: roccia sponde: roccia

Processi prevalenti: erosione al fondo e laterale Granulometria prevalente dei materiali mobilizzabili

alveo: massi, ciottoli sponde: massi, ciottoli

Matrice fine (alveo= bassa, sponde= bassa)

APICE DEL CONOIDE

Quota (in metri): 270

Stima pendenza del tratto a:

monte (in gradi) 12 valle (in gradi) 8

Sezione del canale in corrispondenza dell'apice (S1) v. fondo scheda

Caratteristiche della soglia: mista (roccia + materiale incoerente)

Angolo immissione del canale in conoide: a gomito

CONOIDE

Presenza sulla superficie del conoide di materiale di recente deposizione: NO

Riconoscimento di uno o più antichi canali di scarico: NO

Osservazioni: NN

CANALE DI SCARICO ATTIVO

Posizione del canale di scarico attivo: mediano

Migrazione presumibile avvenuta nel tempo del canale attivo: non verificabile

Caratteristiche del canale di scarico attivo:

settore apicale – poco inciso

settore mediano – regimato con opere di difesa

settore terminale - regimato con opere di difesa

Altezza minima delle sponde dal fondo-alveo:

- (A1) apicale sx 1,00 (in metri) dx 1,00 (in metri)
- (A2) mediano sx 2,90 (in metri) dx 2,00 (in metri)
- (A3) terminale sx 2,50 (in metri) dx 2,50 (in metri)

Ampiezza media del canale di scarico attivo

- (C1) apicale 27,00 (in metri)
- (C2) mediano 15,00 (in metri)
- (C3) terminale 12,00 (in metri)

Dimensione massima dei blocchi presenti nei settori apicale, mediano, terminale (diametro medio)

Apic. m: 1,00 Med. m: 0,80 Ter. M: 0,40

CONFLUENZA

Quota m: 242

Valutazione attività del tributario rispetto al ricettore: non possibile

Sedimenti trasportati dalle colate detritiche nella zona di confluenza: presenti

INFRASTRUTTURE

Opere sul conoide:

opere viarie (SC, SP)

attraversamenti (ponte)

manufatti (edifici)

Stima percentuale aree edificate = 35

Canale di scarico attivo:

opere di difesa SI' (v. schede allegate carta opere idrauliche)

Opere interferenti con il canale di scarico attivo:

opere viarie (SC, SP)

attraversamenti (ponte)

Punti di possibile disalveamento: NO

ALLEGATI

- Carta degli elementi morfologici, dei punti critici e dei punti di osservazione e misura
- Scheda sezione apice (S1)

DATA DI COMPILAZIONE: 20 NOVEMBRE 1998, AGG. 2003

2.2 VALUTAZIONE DELLA PERICOLOSITÀ DELLA CONOIDE ALLUVIONALE

2.2.1 Melton (1965)

Dall'Allegato 3 *Schede monografiche relative alle principali conoidi* del P.R.G.C. del Comune di Trontano (*Studio Geologico D'Elia – novembre 1999*), in merito alla valutazione eseguita secondo il metodo di Melton, si ricava quanto segue:

Hmax (altezza max bacino in km)= 2,247Hmin (altezza min bacino in km)= 0,27A (area del bacino in kmq)= 9,714Me= 0.63essendo Me > 0.5 il bacino è soggetto a pericolo di debris-flow

2.2.2 Aulitzky (1973)

Nel paragrafo 5.2 Evoluzione morfologica quaternaria e commento alla Carta Geomorfologica della Relazione geologica generale del P.R.G.C. del Comune di Trontano, oltre a considerazioni generali sul metodo, per la conoide in esame si conclude che: "La zonizzazione della pericolosità da esondazione per questa conoide eseguita secondo il metodo di Aulitzky (1973), integrata dagli aspetti morfologici di questo apparato deposizionale, che presenta un canale di deflusso inciso rispetto al resto della conoide, ha permesso di considerare alto il pericolo da esondazione nella fascia latistante il T. Ogliana nel tratto a monte del ponte sulla S.P.. E' risultato, invece, a pericolosità media il nucleo di Quarata posto in sinistra del corso d'acqua. La restante parte della conoide presenta una bassissima pericolosità da esondazione.

2.2.3 Conclusioni

Per la conoide in esame, secondo quanto si legge nel paragrafo 5.2 Evoluzione morfologica quaternaria e commento alla Carta Geomorfologica della Relazione geologica generale del P.R.G.C. del Comune di Trontano "[...] ai tre gradi di pericolosità da esondazione" ottenuti con il metodo di Aulitzky "[...] sono state associate le tre classi (e relative sottoclassi) di idoneità all'utilizzazione urbanistica previste dalla Circolare Presidente della Giunta Regionale n. 7/LAP dell'8-5-1996 [...]".

Viene precisato, inoltre, che "[...] accanto al criterio morfologico, durante la zonizzazione del territorio ai fini dell'utilizzazione urbanistica, come integrazione alla classificazione della pericolosità da esondazione secondo il metodo di Aulitzky (1973) [...]" è stata considerata la pendenza della conoide ed, in particolare, un'acclività inferiore a 2÷3° come elemento separatore "[...] al fine di individuare quelle porzioni di conoide non più raggiungibili dai trasporti di massa a causa delle pendenze insufficienti per tale tipo di moto, perché lontane da antichi canali di scarico potenzialmente riattivabili, o perché risultano essere fuori dalla probabile direzione delle colate detritiche ecc. [...]".

Si propone quindi in allegato un estratto semplificato (in quanto non sono distinte le diverse sottoclassi della classe III) della *Carta della zonizzazione e della idoneità urbanistica* (Tav. 8a) che può essere letto anche come *Carta della pericolosità da esondazione*, facendo coincidere alla "classe di idoneità 2" le aree a bassa e media pericolosità di esondazione, ed alla "classe di idoneità 3" quelle ad alta pericolosità di esondazione.

2.3 VALUTAZIONE EMPIRICA DEI VOLUMI DI SEDIMENTO POTENZIALMENTE TRASPORTATI DALLE COLATE DETRITICHE

I metodi per il calcolo della stima della magnitudo di un evento alluvionale forniscono indicazioni approssimative, comunque utili per la valutazione di pericolosità dell'area e per una prima analisi sul dimensionamento di eventuali opere di difesa.

Si è cercato di stimare i valori di trasporto solido totale utilizzando le metodologie proposte da Hampel (1977), Marchi et Al. (1996) e Rickenmann (1997).

2.3.1. Metodo di Hampel (1977)

Hampel propone una formula empirica per lo studio della magnitudo delle colate detritiche, nella quale vengono calcolati i volumi di sedimento trasportati dalle stesse in base all'area del bacino ed alla pendenza del conoide alluvionale:

$$M = 150 \times A (Jc-3)^{2.3}$$

A (area del bacino in km²)

Jc (pendenza del conoide in %)

Per bacini aventi conoidi alluvionali poco acclivi, cioè con Jc<10%, la formula di Hampel da luogo ad una netta sottostima dei volumi di sedimenti trasportati rispetto alla realtà; nel caso in cui le pendenze dei conoidi siano invece maggiori risulta essere cautelativa rispetto ai dati disponibili per i debris flow effettivamente avvenuti.

Dall'Allegato 3 *Schede monografiche relative alle principali conoidi* del P.R.G.C. del Comune di Trontano, in merito alla valutazione eseguita secondo il metodo di Hampel, si ricava quanto segue:

$$M = 150 \times A(Jc-3)^{2.3}$$

A (area del bacino in kmq = 9,714

Jc (pendenza del conoide in %) = 4.8

 $M = 5631 \ mc$

2.3.2. Metodo di Marchi et Al. (1996)

Il metodo di Marchi et Al. mostra la relazione diretta tra la superficie del bacino idrografico e il valore di magnitudo.

Marchi et Al. hanno raccolto i dati sulla magnitudo delle colate detritiche, ovvero sul volume complessivo dei materiali depositati durante un singolo evento, per circa 45 *debris flow* avvenuti nelle Alpi Orientali a partire dal secolo scorso.

Dal loro lavoro risulta che per bacini di superficie compresa tra 0,1 e 20 km² la magnitudo (espressa in m³) può essere calcolata mediante la semplice equazione:

$$M = 70000 \cdot A$$

dove A è la superficie del bacino (espressa in km²).

Lo studio ha messo in luce che un'attenuazione dell'incremento della magnitudo al crescere dell'area del bacino sembra delinearsi solo per le unità idrografiche di maggiore estensione. Tale attenuazione può essere attribuita alla possibilità che solo parte dell'unità idrografica sia interessata dagli eventi torrentizi.

Dall'Allegato 3 Schede monografiche relative alle principali conoidi del P.R.G.C. del Comune di Trontano (Studio Geologico D'Elia – novembre 1999), in merito alla valutazione eseguita secondo il metodo di Marchi et Al., si ricava quanto segue:

 $M = 70000 \times A$ a = area del bacino in kmq = 9,714m = 679980 mc

2.3.3. Metodo di Rickenmann (1997)

Con il metodo di Rickenmann si ottiene la valutazione dei volumi di sedimento trasportati dalle colate detritiche in base alla pendenza del conoide ed alla distanza percorsa dalla colata, calcolata dal punto di possibile partenza al punto di deposito.

Tale indice viene determinato con l'espressione:

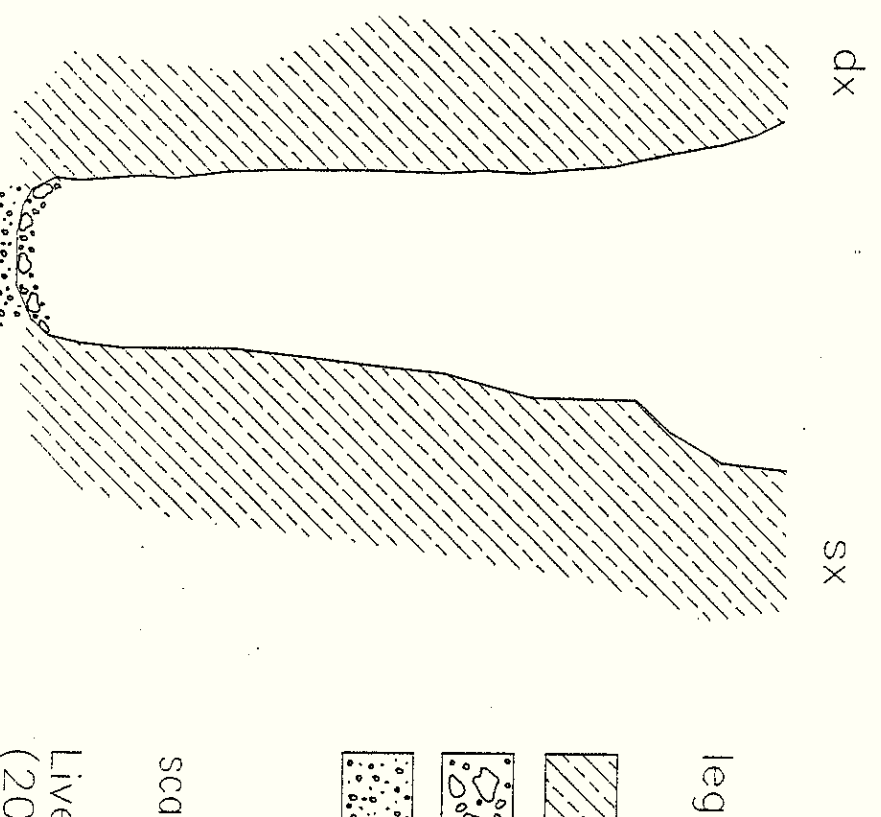
$$M = (110 - 2.5 \times Jc) \times L$$

- Jc (pendenza del conoide in %)
- L (distanza percorsa dalla colata in m)

In merito alla valutazione eseguita secondo il metodo di Rickenmann, si ricava quanto segue:

Jc (pendenza del conoide in %) = 4.8L (distanza percorsa dalla colata in m) = 250m = 24500 mc

Come già accennato, tutti questi valori vanno presi come stime indicative: le differenze di magnitudo ottenute sono dovute ai diversi parametri impiegati da ciascun metodo, e l'estrema variabilità nei range dei valori ottenuti è, presumibilmente, indice di scarsa affidabilità dei metodi; sarebbe quindi auspicabile avere a disposizione un metodo creato su misura per il territorio in esame.



legenda

massi e

roccia

ciottoli

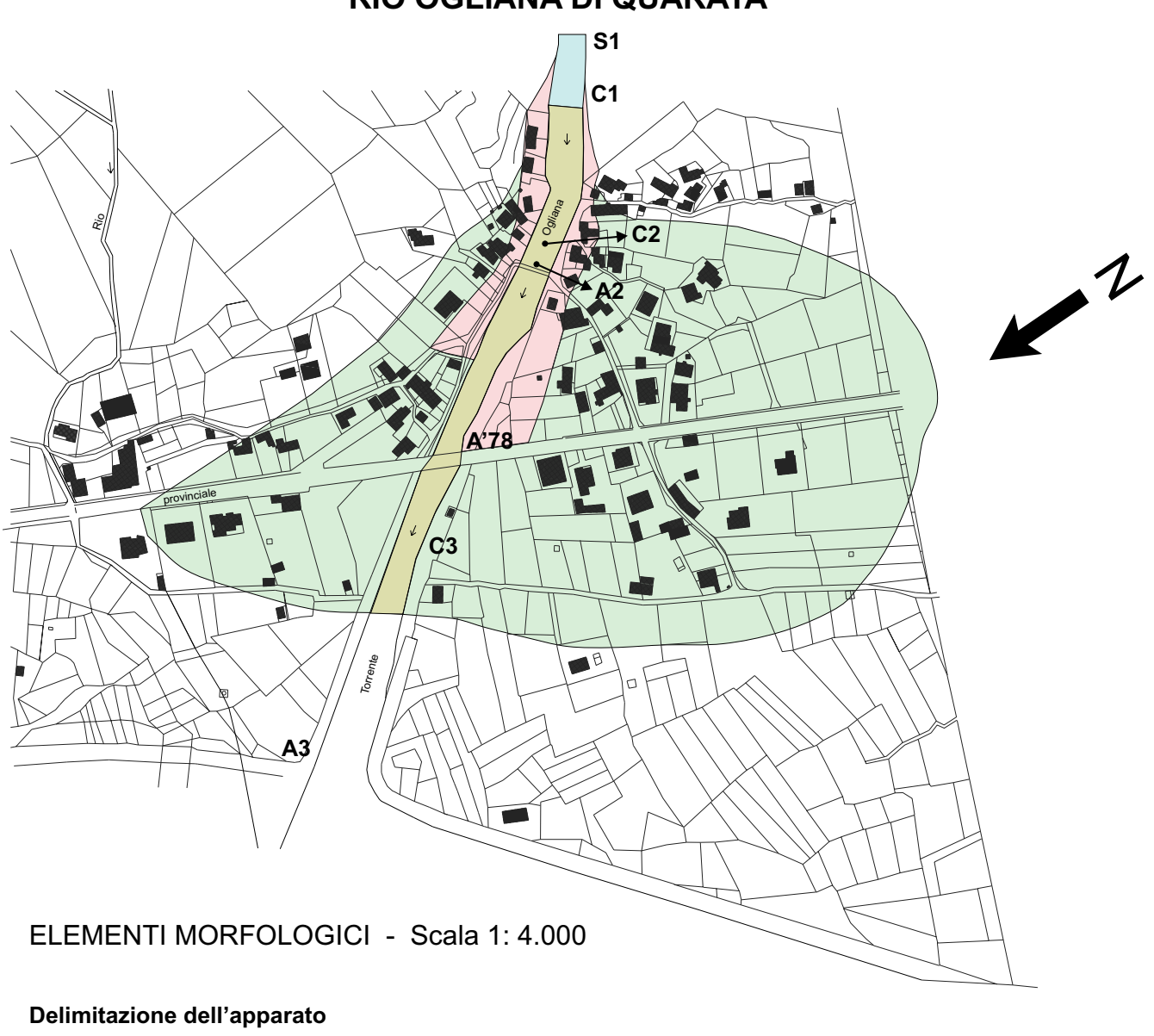
ghiaia

scala 1 : 1000

Livello idrometrico alla data (20 / 11 / 1997): 30 cm della misura

Presenza di vegetazione ad alto fusto in alveo.

RIO OGLIANA DI QUARATA



Conoide potenzialmente attivabile per trasporti in massa
Conoide stabilizzato per interventi di regimazione

Canale di scarico attivo

Canale poco inciso
Regimato con opere di difesa

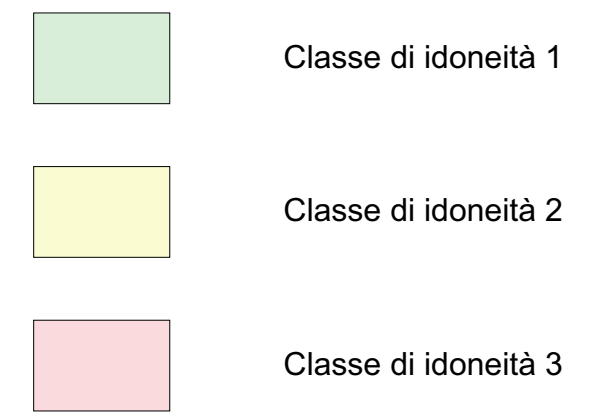
Elementi associati alla scheda di rilevamento: punti di osservazione e misura

S1	Ubicazione dei punti della sezione apicale
A1	Ubicazione dei punti di osservazione dell'altezza delle sponde dal fondo alveo
C1	Ubicazione dei punti di osservazione dell'ampiezza del canale di scarico attivo
A'78	Ubicazione dei danni da osservazioni dirette o da informazioni raccolte e relativo anno

RIO OGLIANA DI QUARATA



CLASSI DI IDONEITA' ALL'UTILIZZAZIONE URBANISTICA - Scala 1: 4.000



3. CONOIDE ALLUVIONALE RIO FIESCHI

3.1 SCHEDA DI RILEVAMENTO

CONOIDE (codice)						
TRIBUTARIO (nome e) Rio	Fieschi			CODICE		
CORSO D'ACQUA RICETT	ORE (nom	e e codice)	T.Ogliana di Pozzo	olo		
POSIZIONE RISPETTO AL C	ORSO D'A	ACQUA RIC	ETTORE De	es.	Sin. □	
SEZIONE C.T.R. DI RIFERIM	IENTO (co	dice nome)	051120 Villadosso	la		
Conoide attivo	c	on interventi	di regimazione			
Conoide reinciso, stabilizzato,	talora con p	oiù ordini di 1	errazzi 🗆			
Numero di ordini terrazzi ricon	osciuti					
Conoide quiescente, o stabilizz	ato per inte	rventi di reg	imazione			
INQUADR	AMENTO (GEOMORF	OLOGICO			
Conoide soggetto all'azione an	che ordinar	ia del corso	d'acqua ricettore 🗖			
Conoide appoggiato su superfic non più interessato dall'azione				्त	N. S.	
Conoide attualmente sospeso ri	spetto al fo	ndovalle prii	ncipale 🗆	X		
Conoide costruito a valle di un del corso d'acqua ricettore	precedente	apparato di	conoide, per l'appro	ofondimento		
DAN	` .		ESTIMONIANZE			
Centro abitato Singolo edificio o nucleo abitat Viabilità	dan A □ to C ■ E ■	B □ D □ F □	Attraversamenti Opere idrauliche Manufatti in gen		dis H 🗖 L 🗖 N 🗖	
Anni (se conosciuti) e danni as 7/8/1978 C, E	ssociati (ripo	ortare per anr	no la tipologia dei da	nni, ad es. 12	2/6/1993, C, O	3).
Tracce dell'altezza raggiunta de Da osservazione di terreno, in le depositi P; successioni di erosione sedimenti/tracce: su manufatti Punto/i di misura (indicare il co osservazione: ad es. T1, 5, Tv) Settore apicale Settore mediano	base a: oni correlab Tm; su vege	oili E; terrazz etazione Tv	amenti Te	tracce dal fo	ondo alveo ed	il tipo di
Settore terminale						

OSSERVAZIONI SUL CANALE IMMEDIATAMENTE A MONTE DELL'APICE

Caratteristiche	-	<u>evaienti</u>			
	Roccia	Depositi	Vegetazione		
Alveo			•		
Sponde					
Processi preva Erosione al fo		Erosione laterale		Deposito	•
Granulometria	a prevalente	dei materiali mobil	<u>izzabili</u>		
	A	lveo		Sponde	
Clasti	massi cio	ottoli ghiaie	mass	i ciottoli	ghiaie
			•		
Matrice fine					
Elevata					
Media					
Bassa					
		AF	PICE DEL CON	OIDE	
Quota m s.l.m	1.	~275			
Stima penden					
monte (°)	~25÷30	valle (°) ~	9		
Sezione del ca	anale in corr	ispondenza dell'api	ce (Codice sche	da sezione)
Caratteristiche	e della soglia	a			
In roccia	☐ in	materiale incoeren	te 🗆 mista		
Angolo di imi	missione del	canale in conoide			
a gomito 🗖	cu	ırvo 🗆	rettilineo		
D	<				
			CONOIDE		
Presenza sulla	a superficie o	del conoide di sedin	nenti di recente	deposizione	
Prev. fini	•	ni ingl. pezz. maggi		•	
		imi blocchi presenti		8	
		più antichi canali di			
si \square	no no	pru antiem canan ui	Scarico		
Osservazioni					
In zona apical	le (sponda si	nistra), deposito gro	ossolano di origi	ne dubbia: rii	maneggiato (materiale
proveniente d	a disalveo) o	in posto (colata)?			
In destra la co	onoide è stata	a cavata (materiale	utilizzato perla r	ealizzazione	dello scalo ferroviario,
secondo testir	nonianze ver	rbali); alla base dell	l'intaglio il mate	riale è almeno	parzialmente rimaneggiato.

CANALE DI SCARICO ATTIVO

Posizione del canale di scarico attivo

Mediano ■	laterale in sinistra 🗖	laterale in destra □	
Migrazione presumibile avv	venuta nel tempo del canale a	attivo	
De sinistra e destra D	do dostro o sinistro 🗖	do sinistro e controlo D	
Da sinistra a destra □	da destra a sinistra 🗖	da sinistra a centrale 🗖	
Da centrale a sinistra	da destra a centrale	da centrale a destra □	
Da centrale a sinistra 🗖	da destra a centrale	da centrare a destra. 🗖	
	scarico attivo Settori: (apicale,	mediano, terminale)	
Apic. Med. Ter.	ale poco inciso		
	ale inciso		
□ □ □ Cana	ale di scarico pensile		
□ ■ Pens	ile per intervento antropico		
□ ■ Regi	mato con opere di difesa		
Altezza minima delle sponde	dal fondo-alveo Ar	mpiezza media del canale di scarico attivo	
Apic. Med Sin. ~2 m		Apic. Med. Terr ~21 m ~7 m ~2.5 m	
Des. ~1.5 m ~3 n	~2 m		
Dimensione massima dei blo	occhi presenti nei settori apical	e, mediano, terminale (diametro medio)	
Apic.m	Med. m	Ter.m. ~ 0.15	
	CONFLUEN	NZA	
Quota m s.l.m. ~ 233]		
Attività prevalente del tributa		ora)	
• • •	deviato il corso d'acqua ricetto d'acqua ricettore rispetto al tri		
(es. l'apparato di conoide è s	tato eroso dal corso d'acqua ri	cettore)	
Attività del tributario e del ri	cettore in equilibrio		
Valutazione non possibile Sedimenti trasportati dal trib	utario nella zona di confluenza	1	
assenti	presenti	-	

INFRASTRUTTURE

<u>Opere sul conoide</u>
Opera viaria: SC ■ SP ■ SS □ autost □ ferr. □ altro □
Attraversamenti: ponte ■ altro □
Manufatti: edifici ■ altro □ Stima % aree edificate: ~25%
Canale di scarico attivo:
Opere di difesa
Si ■ (schede) No □
Opere interferenti con il canale di scarico attivo
Opera viaria: SC □ SP ■ SS □ autost □ ferr. □ altro □
Attraversamenti: ponte ■ altro □
Manufatti: edifici □ altro □
Opere interferenti con antichi canali di scarico
Opera viaria: SC □ SP □ SS □ autost □ ferr. □ altro □
Attraversamenti: ponte altro altro
Manufatti: edifici □ altro □
PUNTI DI POSSIBILE DISALVEAMENTO si ■ no □
(evidenziati nella tavola Direttrici di deflusso in caso di esondazione allegata al Paragrafo 2.B2 inerente la valutazione
della pericolosità della conoide alluvionale secondo il metodo proposto da Aulitzky (1973))
Allerada
Allegati:
Elenco cartografie prodotte: - carta degli elementi morfologici, dei punti critici e dei punti di osservazione e misura
11. 11. 1 =
1
- Schede fotografie: Codice/i
- Schede dati storici su eventi pregressi: codice/i
- Schede documentazione: ☐ codice/i

3.2 VALUTAZIONE DELLA PERICOLOSITÀ DELLA CONOIDE ALLUVIONALE

3.2.1 Melton (1965)

Il numero di Melton (M_e) è un indice che esprime le condizioni di rilievo e di acclività del bacino e viene calcolato nel seguente modo:

$$M_e = (H_{\text{max}} - H_{\text{min}}) \times A^{-0.5}$$

 H_{max} : quota massima del bacino;

 H_{min} : quota apice conoide;

A: superficie del bacino

Per il bacino in esame risulta:

$$M_e = (1.200 \text{ km} - 0.275 \text{ km}) \times (0.759 \text{ Km}^2)^{-0.5} = 1.06 > 0.50$$
 bacino a rischio di *debris-flow*

Secondo lo schema interpretativo proposto da alcuni Autori (*Marchi* et al., 1993; *Ceriani* et al.,1998) un numero di Melton superiore all'unità indica una prevalenza di trasporto *debris-flow* (colate detritiche), indipendentemente dalla pendenza media della conoide (in questo caso maggiore del 10%).

3.2.2 Aulitzky (1973)

I possibili punti di disalveamento individuati nell'ambito della conoide si trovano in zona apicale (criticità per piene eccezionali, soprattutto in sinistra) e in corrispondenza dell'attraversamento della S.P. che costituisce un notevole restringimento della sezione di deflusso.

Per la conoide del Rio Fieschi si è potuto rispondere a tutte le 6 domande del questionario di Aulitzky:

- ✓ per le domande n.1. (Dimensioni massime del materiale trasportato o eroso di recente) e n.2. (Massimo spessore del singolo strato dei depositi riconoscibili differenziato dall'orizzonte umifero o da uno strato a differente struttura) sono state raccolte informazioni puntuali, limitatamente alla zona apicale;
- ✓ per quanto riguarda i quesiti n.3 (Pendenza del cono di deiezione), n.4 (Attuale copertura vegetale predominante) le numerose misure eseguite hanno permesso di interpolare i dati estendendoli a gran parte della superficie della conoide.

In particolare, riguardo la domanda n. 3, si precisa che la pendenza considerata è quella naturale della conoide (misurata in sito con clisimetro, oppure "ricostruita", qualora risulti alterata da interventi antropici). L'effetto prodotto dalla presenza di scavi e/o riporti è stato valutato in un momento successivo, nell'ipotesi che tale interventi potessero modificare la *pericolosità naturale* (si veda al tal proposito la Tav. 8a dell'Elab. GEO 9, *Carta della zonizzazione e dell'idoneità geologica all'utilizzazione urbanistica*).

Al quesito riguardante la vegetazione è stata attribuita un'importanza relativa, valutata singolarmente per ogni maglia; in pratica, per la singola maglia, il punteggio complessivo è stato determinato sia considerando il parametro vegetazione sia scartandolo (operazione del resto eseguita con tutte le risposte ritenute incerte, alla fine di individuare il risultato più cautelativo);

✓ infine, per i quesiti n.5. (Morfologia del terreno in funzione dell'erosione) e n.6. (Condizioni di deflusso) i dati raccolti sono concentrati nell'intorno del canale di scarico attivo, definendo una fascia di ampiezza variabile.

Le interpolazioni operate sui dati degli indicatori morfologici, hanno permesso di definire il parametro pericolosità secondo Aulitzky, su gran parte della superficie della conoide.

Per la conoide in esame la cartografia tematica e di sintesi è stata realizzata a partire da una base catastale a scala 1: 2.000, alla quale è stata sovrapposta la topografia (curve di livello) tratta dalla C.T.R.; tale base è stata suddivisa in celle di 2 cm di lato, pari ad un passo di 40 m.

3.3 VALUTAZIONE EMPIRICA DEI VOLUMI DI SEDIMENTO POTENZIALMENTE TRASPORTATI DALLE COLATE DETRITICHE

3.3.1. Metodo di Hampel (1977)

Dalla valutazione eseguita secondo il metodo di Hampel, che si basa sull'area del bacino e la pendenza della conoide alluvionale, per la conoide del Rio Fieschi si ricava quanto segue:

$$M = 150 \times A(Jc-3)^{2.3}$$

A (area del bacino in kmq = 0.759

Jc (pendenza del conoide in %) = 11

 $M = 13596 \ mc$

Si segnala la possibilità di creare in apice del conoide un'ampia zona di ritenuta nel tratto compreso tra le prime due soglie (opere siglate F_S1 e F_S2), mediante la sopraelevazione dei muri d'argine e la trasformazione della seconda soglia in briglia. L'accesso alla zona è garantito dalla pista esistente in sponda destra.

3.3.2. Metodo di Marchi et Al. (1996)

in merito alla valutazione eseguita secondo il metodo di Marchi et Al., si ricava quanto segue:

$$M = 70000 \times A$$

a (area del bacino in kmq = 0.759

m = 53130 mc

3.3.3. Metodo di Rickenmann (1997)

In merito alla valutazione eseguita secondo il metodo di Rickenmann, si ricava quanto segue:

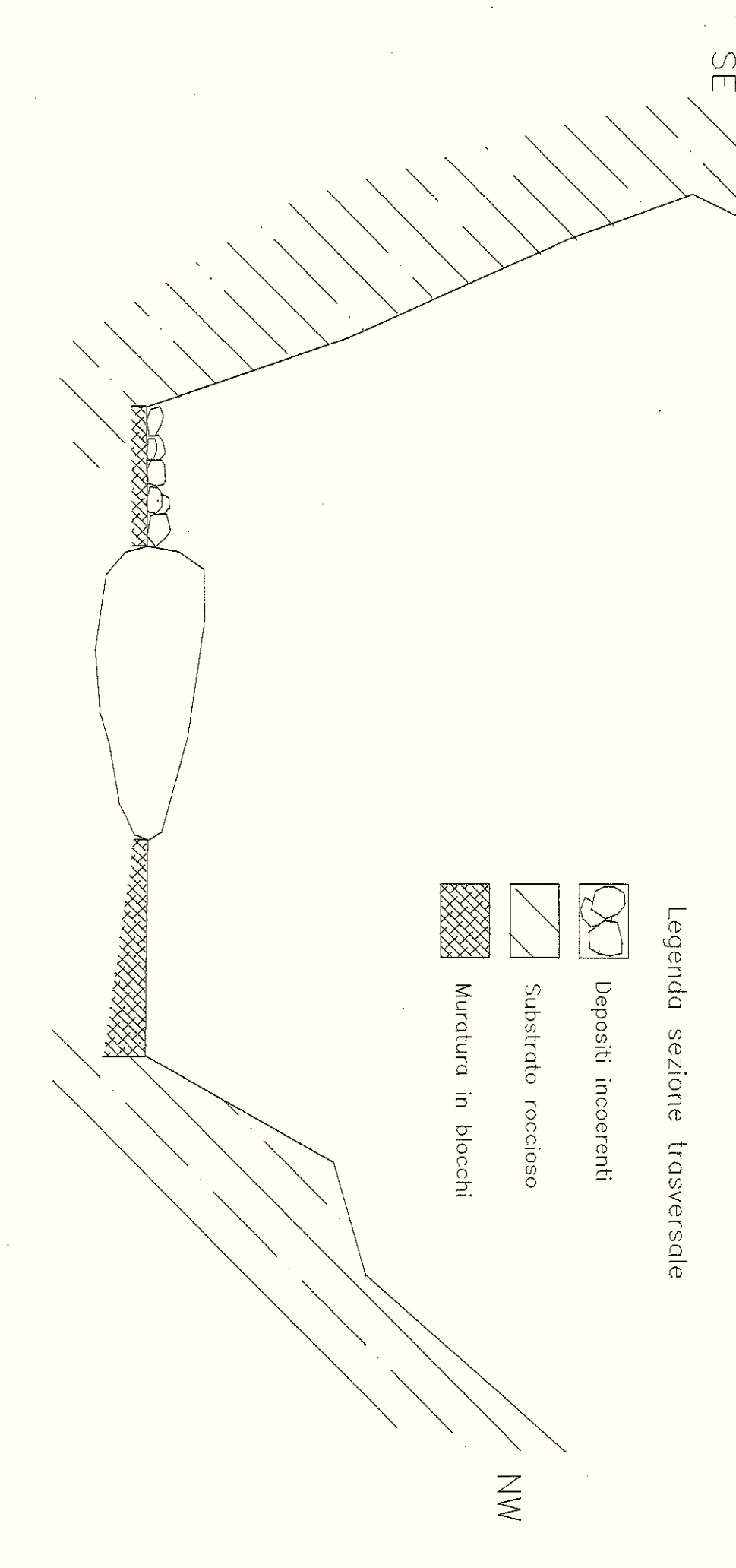
$$M = (110 - 2.5 \times Jc) \times L$$

Jc (pendenza del conoide in %) = 11

L (distanza percorsa dalla colata in m) = 250

 $M = 20625 \ mc$

Conoide Rio Fieschi Sezione apicale - scala 1: 200



Livello idrometrico alla data della misura: —

Presenza di vegetazione arbustiva infestante in alveo

Data: 12 novembre 1998

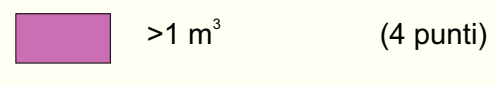


CONOIDE RIO FIESCHI

DIRETTRICI DI DEFLUSSO IN CASO DI ESONDAZIONE scala 1: 2.000



DIMENSIONE MASSIMA DEL MATERIALE DETRITICO scala 1: 2.000



1-0.2 m³ (3 punti)

0.2-0.01 m³ (2 punti)

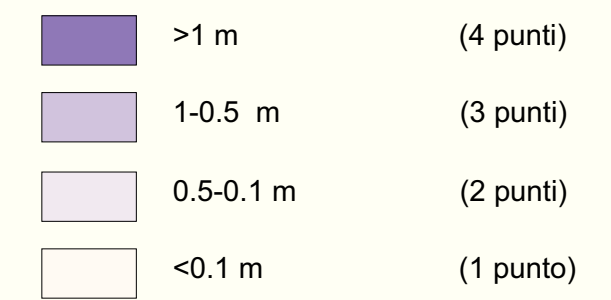
<0.01 m³ (1 punto)

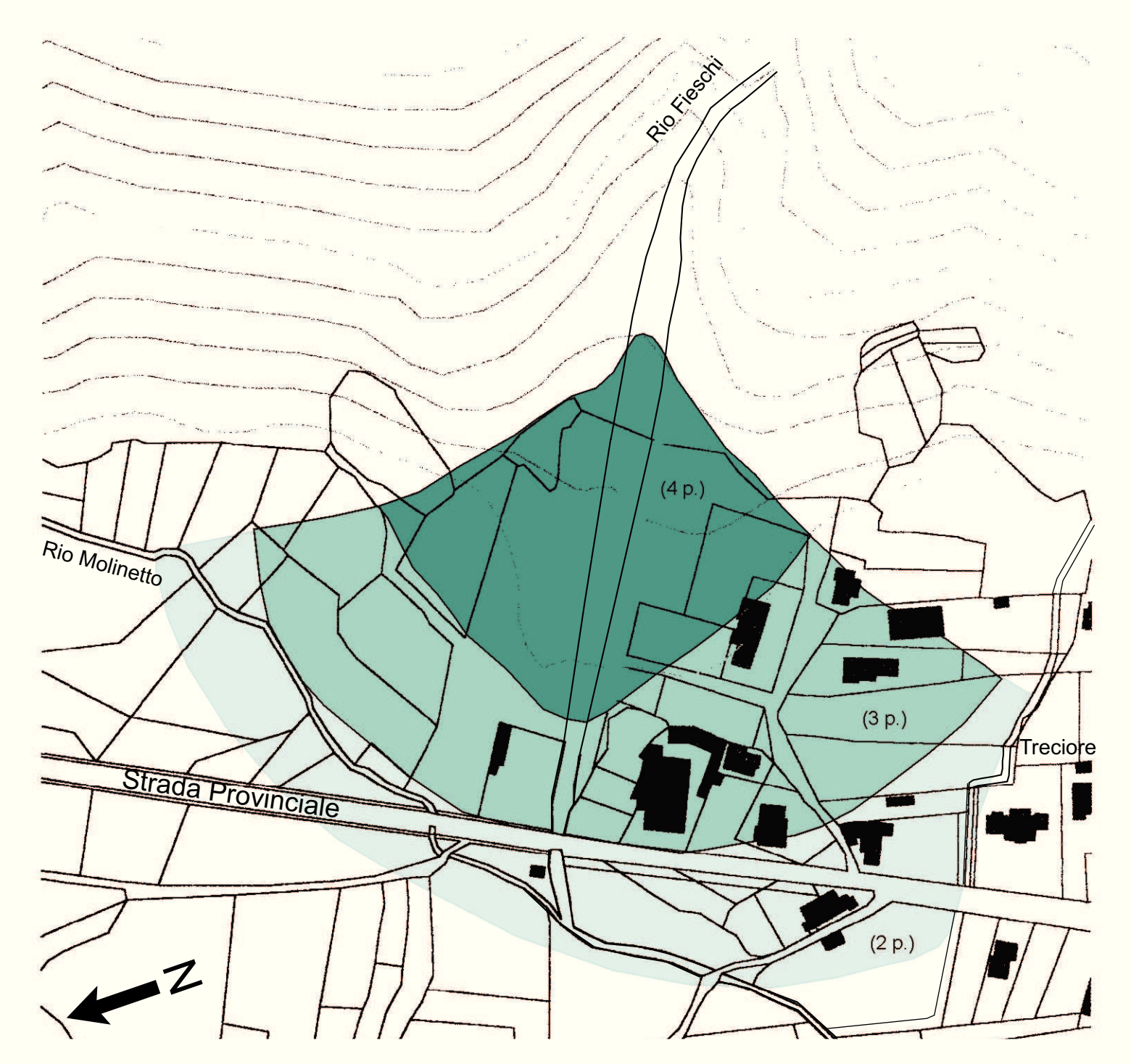


Accumulo detritico di origine incerta

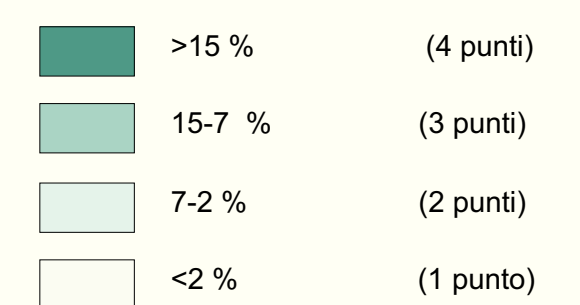


SPESSORE MASSIMO DEL SINGOLO STRATO DETRITICO scala 1: 2.000





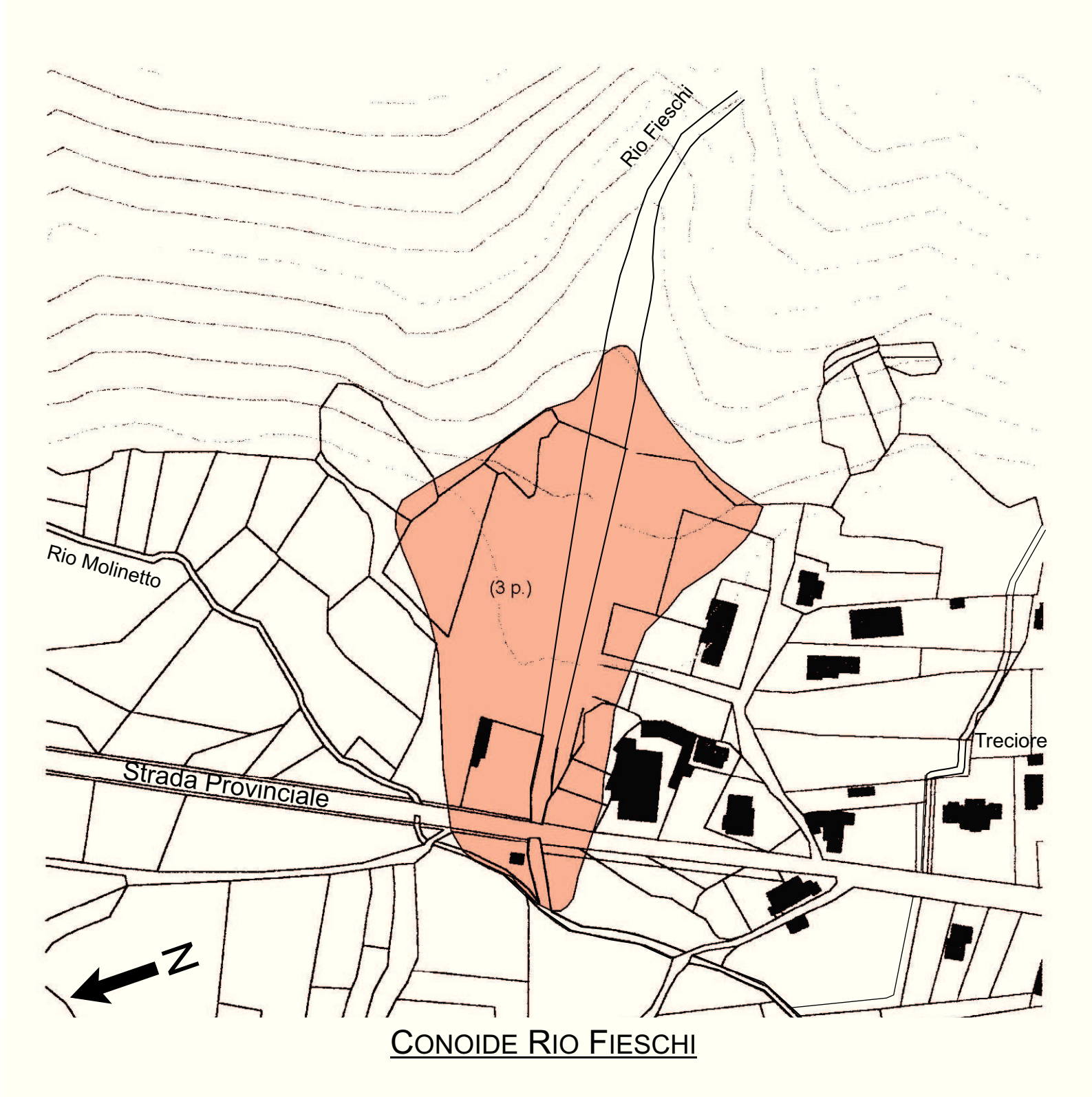
PENDENZA DEL CONO DI DEIEZIONE scala 1: 2.000





COPERTURA VEGETALE PREDOMINANTE scala 1: 2.000

Vegetazione pioniera	(4 punti)
Vegetazione evoluta	(3 punti)
Prati terrazzati	(2 punti)
Prati non terrazzati	(1 punto)



MORFOLOGIA DEL TERRENO IN RELAZIONE ALL'AZIONE MODELLATRICE DEL CORSO D'ACQUA

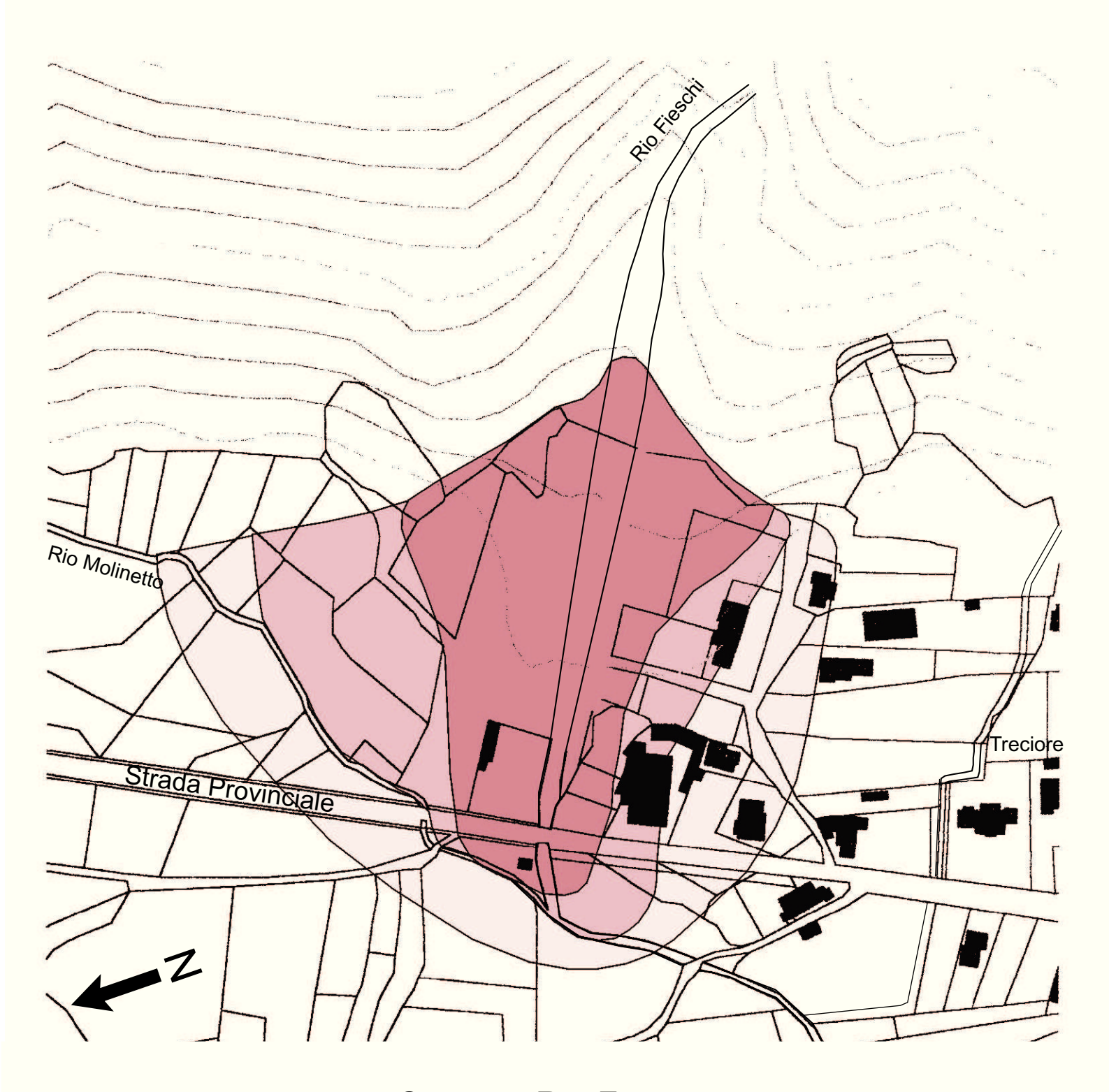
scala 1: 2.000

Solcatura d'erosione	(4 punti)
Colata	(3 punti)
Alveo inciso	(2 punti)
Alveo fort. inciso	(1 punto)

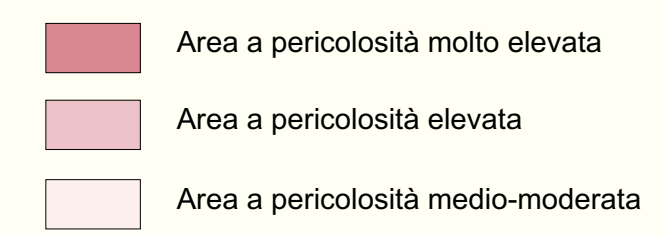


CONDIZIONI DI DEFLUSSO scala 1: 2.000

Sezione strozzata, curve	(4 punti)
Sezione critica	(3 punti)
Deflusso poco ostacolato	(2 punti)
Deflusso facilitato	(1 punto)



CARTA DELLA PERICOLOSITA' DA ESONDAZIONE scala 1: 2.000



4. CONOIDE ALLUVIONALE TORRENTE OGLIANA DI POZZOLO

4.1 SCHEDA DI RILEVAMENTO

CONOIDE (codice)	
TRIBUTARIO (nome e) Torrente Ogliana di Pozzolo (R. delle Ravine) CODICE	
CORSO D'ACQUA RICETTORE (nome e codice) F. Toce	
POSIZIONE RISPETTO AL CORSO D'ACQUA RICETTORE Des. ☐ Sin. ■	
SEZIONE C.T.R. DI RIFERIMENTO (codice nome) 051120 Villadossola	
Conoide attivo con interventi di regimazione	
Conoide reinciso, stabilizzato, talora con più ordini di terrazzi	
Numero di ordini terrazzi riconosciuti	
Conoide quiescente, o stabilizzato per interventi di regimazione	
INQUADRAMENTO GEOMORFOLOGICO	
Conoide soggetto all'azione anche ordinaria del corso d'acqua ricettore □	
Conoide appoggiato su superfici di fondovalle terrazzate, non più interessato dall'azione del corso d'acqua ricettore	
Conoide attualmente sospeso rispetto al fondovalle principale	
Conoide costruito a valle di un precedente apparato di conoide, per l'approfondimento del corso d'acqua ricettore	
DANNI (RILEVATI O DA TESTIMONIANZE LOCALI) dan dis	
Centro abitato $A \blacksquare B \square$ Attraversamenti $G \square H \blacksquare$ Singolo edificio o nucleo abitato $C \square D \blacksquare$ Opere idrauliche $I \square L \square$ Viabilità $E \blacksquare F \square$ Manufatti in genere $M \square N \square$	
Anni (se conosciuti) e danni associati (riportare per anno la tipologia dei danni, ad es. 12/6/1993, C, G) 26,27/8/1900 A, D, E, H	
Tracce dell'altezza raggiunta dalla massa fluida di detriti (m) Da osservazione di terreno, in base a: depositi P; successioni di erosioni correlabili E; terrazzamenti Te sedimenti/tracce: su manufatti Tm; su vegetazione Tv Punto/i di misura (indicare il codice riportato sulla cartografia, l'altezza delle tracce dal fondo alveo ed il osservazione: ad es. T1, 5, Tv) Settore apicale Settore mediano Settore terminale	tipo di

OSSERVAZIONI SUL CANALE IMMEDIATAMENTE A MONTE DELL'APICE

Caratteristiche	<u>Caratteristiche generali prevalenti</u>								
	Roccia		Depositi	Veget	azione				
Alveo				•					
Sponde									
Processi preva Erosione al foi		Eros	ione laterale			Deposito	•		
Granulometria	prevaler	nte dei ma	ateriali mobil	<u>izzabili</u>					
		Alveo				Sponde			
Clasti	massi	ciottoli	ghiaie		massi	ciottoli	ghiaie		
Matrice fine	Ц	-	-		-	-	Ц		
Elevata									
Media		•							
Bassa									
			AP	ICE DEI	L CONO	IDE			
Quota m s.l.m.		~265							
Stima pendenz	za del trat	to a:							
monte (°)	~16		e (°) ~.	3					
Sezione del ca	nale in co	orrispond	lenza dell'api	ce (Codio	ce scheda	sezione)		
Caratteristiche		-	•	`			,		
In roccia		-	riale incoeren	te 🗆	mista				
Angolo di imn	nissione (
a gomito \Box		curvo		rettilir	neo 🗆				
a gomito curvo rettilineo									
CONOIDE									
Presenza sulla	superfici	ie del con	noide di sedin	nenti di re	ecente de	posizione			
Prev. fini		fini ingl	. pezz. maggi	ori□	prev. g	rossolani [_		
Diametro med	Diametro medio dei massimi blocchi presenti								
Riconoscimen		_	tichi canali di	scarico					
Si	no	Ц							
Osservazioni									
Si tratta di blanc	di avvallar	menti sulla	a superficie del	conoide i	medio-dis	tale, attualm e	ente quiescenti.		

CANALE DI SCARICO ATTIVO

Posizione del canale di scarico attivo Mediano ■ laterale in sinistra □ laterale in destra □								
Migrazione presumibile avvenuta nel tempo del canale attivo								
Da sinistra a destra da destra a sinistra da sinistra a centrale								
Da centrale a sinistra da destra a centrale da centrale a destra da centrale a destra								
<u>Caratteristiche del canale di scarico attivo</u> Settori: (apicale, mediano, terminale)								
Apic. Med. Ter.								
□ □ Canale poco inciso								
■ Canale inciso								
□ □ Canale di scarico pensile								
□ □ Pensile per intervento antropico								
□ ■ Regimato con opere di difesa								
Altezza minima delle sponde dal fondo-alveo Ampiezza media del canale di scarico attivo								
Apic. Med. Ter. Apic. Med. Term.								
Sin. ~5 m ~4 m ~5 m ~15 m ~25 m ~15 m								
Des.								
Dimensione massima dei blocchi presenti nei settori apicale, mediano, terminale (diametro medio)								
Apic.m ~0.8 Med. m ~0.6 Ter.m. ~0.15								
CONFLUENZA								
Quota m s.l.m. ~ 230								
Attività prevalente del tributario rispetto al ricettore								
(es. l'apparato di conoide ha deviato il corso d'acqua ricettore) Attività prevalente del corso d'acqua ricettore rispetto al tributario								
(es. l'apparato di conoide è stato eroso dal corso d'acqua ricettore)								
Attività del tributario e del ricettore in equilibrio								
Valutazione non possibile								
Sedimenti trasportati dal tributario nella zona di confluenza assenti □ presenti ■								

INFRASTRUTTURE

Opere sul conoide				
Opera viaria: SC ■ SP	■ SS □ auto	ost □ ferr. ■	altro 🗖	
Attraversamenti: por	nte	altro 🗖		
Manufatti: edifici ■	altro ■	Stima %	aree edificate: ~30 %	
Canale di scarico attivo:				
Opere di difesa				
Si ■ (schede)	No 🗖			
Opere interferenti con il car	nale di scarico at	tivo		
•	■ SS □ auto		altro 🗖	
1	nte =	altro 🗖		
•	ro 🗖			
Opere interferenti con antic	hi canali di scari	ico		
Opera viaria: SC □ SP			altro 🗖	
Attraversamenti: ponte		o □		
Manufatti: edifici □		~ _		
PUNTI DI POSSIBILE DISALV		-	deflusso in caso di esondazione allegata	ลไ
			la conoide alluvionale secondo il metod	
			uanto riproducono le rotte di esondazion	
			seguito delle opere di sistemazione idraulio	
			come dimostrato dalle verifiche idraulich	1e
condotte dall'ing. Falciola i	n corrispondenz	a del ponte della S.P.)	
Allegati:				
Elenco cartografie prodotte:				
- carta degli elementi morfo	ologici, dei punti c	eritici e dei punti di osse	ervazione e misura	
- ubicazione opere idraulicl		1		
- Scheda sezione apice: ■	codice			
- Scheda opere idrauliche	codice/i			
- Schede fotografie: □	codice/i			
- Schede dati storici su ever		codice/i		
- Schede documentazione:	□ codice/i			

4.2 VALUTAZIONE DELLA PERICOLOSITÀ DELLA CONOIDE ALLUVIONALE

4.2.1 Melton (1965)

Il numero di Melton (M_e) è un indice che esprime le condizioni di rilievo e di acclività del bacino e viene calcolato nel seguente modo:

$$M_e = (H_{\text{max}} - H_{\text{min}}) \times A^{-0.5}$$

 H_{max} : quota massima del bacino;

 H_{min} : quota apice conoide;

A: superficie del bacino

Per il bacino in esame risulta:

$$M_e = (2,087 \text{ km} - 0.265 \text{ km}) \times (13.72 \text{ km}^2)^{-0.5} = 0.49 < 0.50$$

bacino non a rischio di *debris-flow* (condizioni limite)

Considerato insieme alla pendenza delle conoidi alluvionali, il numero di Melton permette di valutare in prima approssimazione la tipologia dei processi torrentizi attivi (*Marchi* et al., 1993; *Ceriani* et al.,1998). Nel caso in esame, essendo la pendenza media della conoide compresa tra 2 e 10 %, si tratterebbe di una conoide di tipo misto, in cui sono stati attivi fenomeni di *debris-flow* accanto a fenomeni di *debris-flood* (colate detritiche – alluvioni con trasporto solido).

4.2.2 Aulitzky (1973)

Si rimanda al paragrafo 1.1.2 per alcune generalità sul metodo.

Nel caso in esame, l'individuazione delle possibili vie di esondazione si è basata sulle informazioni reperite con la ricerca storica; in particolare, nel corso dell'unico evento documentato di trasporto solido in conoide (agosto 1900) l'esondazione avvenne in corrispondenza del ponte della S.P., a causa dello sbarramento dell'attraversamento stesso. Nel valutare la pericolosità da esondazione secondo Aulitzky, in via cautelativa non si è tenuto conto delle verifiche idrauliche, condotte dall'ing. Falciola in corrispondenza del ponte, che tendono ad escludere, allo stato attuale, un possibile disalveamento; anche la zonizzazione (Tav. 8a) è stata sviluppata coerentemente con le risultanze di Aulitzky, senza tener conto delle suddette verifiche idrauliche.

Per la conoide del T. Ogliana di Pozzolo è stato possibile rispondere localmente alle 6 domande del questionario di Aulitzky:

- ✓ per le domande n.1. (Dimensioni massime del materiale trasportato o eroso di recente) e n.2. (Massimo spessore del singolo strato dei depositi riconoscibili differenziato dall'orizzonte umifero o da uno strato a differente struttura) sono stati raccolti dati puntuali, concentrati nell'intorno del canale di scarico attivo;
- ✓ per quanto riguarda i quesiti n.3 (Pendenza del cono di deiezione), n.4 (Attuale copertura vegetale predominante) le osservazioni eseguite hanno permesso di interpolare i dati estendendoli a gran parte della superficie della conoide.

Anche in questo caso, come già sottolineato per la conoide del Rio Fieschi, al quesito riguardante la vegetazione è stata attribuita un'importanza relativa, valutata singolarmente per ogni maglia;

✓ infine, per i quesiti n.5. (Morfologia del terreno in funzione dell'erosione) e n.6. (Condizioni di deflusso) i dati raccolti sono concentrati nell'intorno del canale di scarico attivo.

Le interpolazioni operate sui dati degli indicatori morfologici, hanno permesso di definire il parametro *pericolosità* secondo Aulitzky, su gran parte della superficie della conoide.

Per la conoide in esame la cartografia tematica e di sintesi è stata realizzata a partire da una base catastale a scala 1: 5.000, alla quale è stata sovrapposta la topografia (curve di livello) tratta dalla C.T.R.; tale base è stata suddivisa in celle di 1cm di lato, pari ad un passo di 50 m.

Si precisa che, nelle tavole allegate, in legenda sono state riportate tutte le risposte previste da Aulitzky, anche quando non presenti nella situazione in esame.

4.3 VALUTAZIONE EMPIRICA DEI VOLUMI DI SEDIMENTO POTENZIALMENTE TRASPORTATI DALLE COLATE DETRITICHE

4.3.1. Metodo di Hampel (1977)

Dalla valutazione eseguita secondo il metodo di Hampel, per il T. Ogliana di Pozzolo si ricava:

$$M = 150 \times A(Jc-3)^{2.3}$$

A (area del bacino in kmq = 13.72

Jc (pendenza del conoide in %) = 7

 $M = 49909 \ mc$

Immediatamente a monte dell'apice del conoide, si sviluppa un tratto d'alveo a debole pendenza in corrispondenza del quale la presenza di linee di disturbo strutturali (parallele a scistosità regionale) determina la presenza di un'ampia varice che funge da naturale zona di deposito.

4.3.2. Metodo di Marchi et Al. (1996)

In merito alla valutazione eseguita secondo il metodo di Marchi et Al., si ricava quanto segue:

$$M = 70000 \times A$$

A (area del bacino in kmq = 13.72

 $M = 960400 \ mc$

3.3.3. Metodo di Rickenmann (1997)

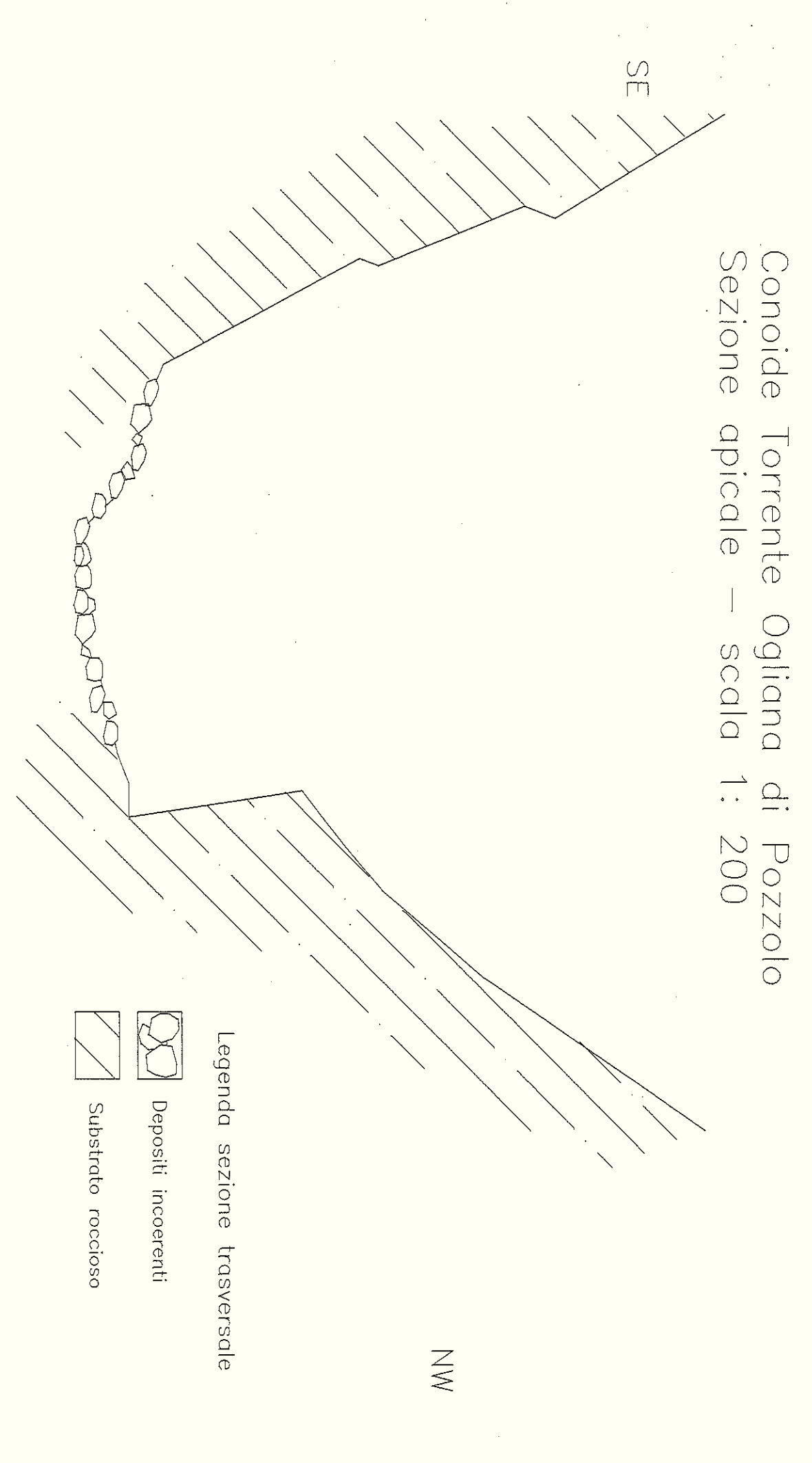
In merito alla valutazione eseguita secondo questo metodo, si ricava quanto segue:

$$M = (110 - 2.5 \times Jc) \times L$$

Jc (pendenza del conoide in %) = 7

L (distanza percorsa dalla colata in m) = 600

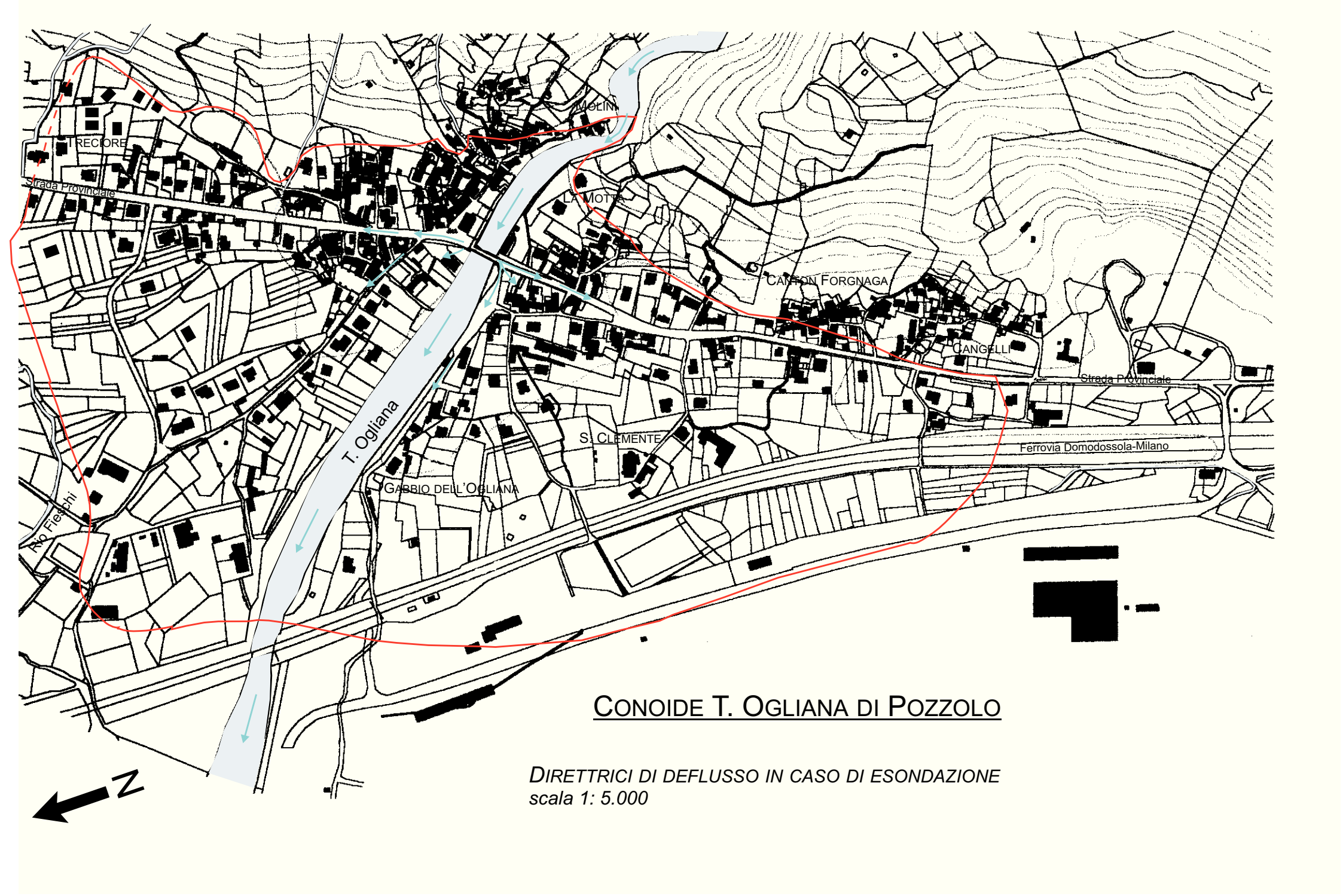
 $M = 55500 \ mc$

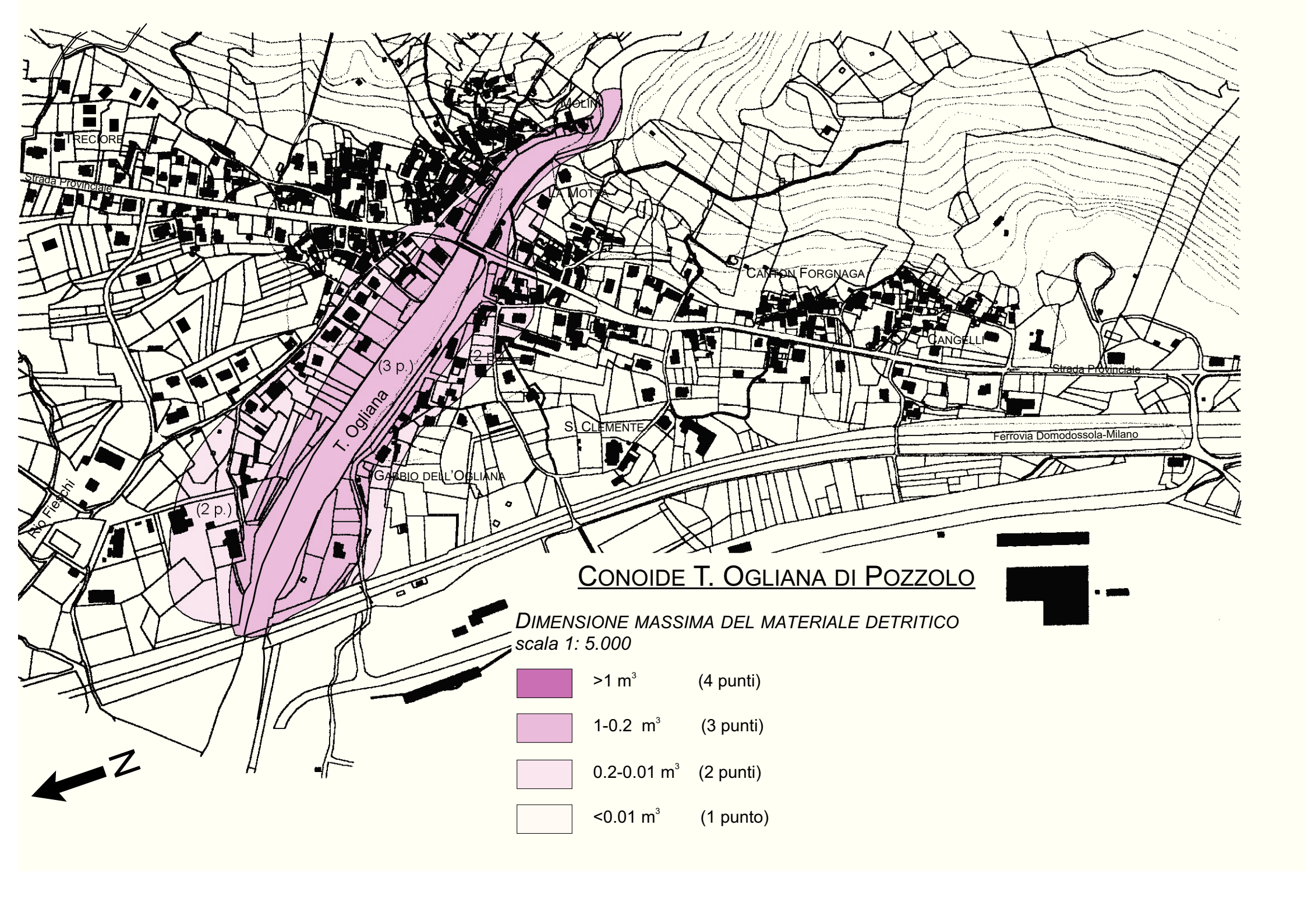


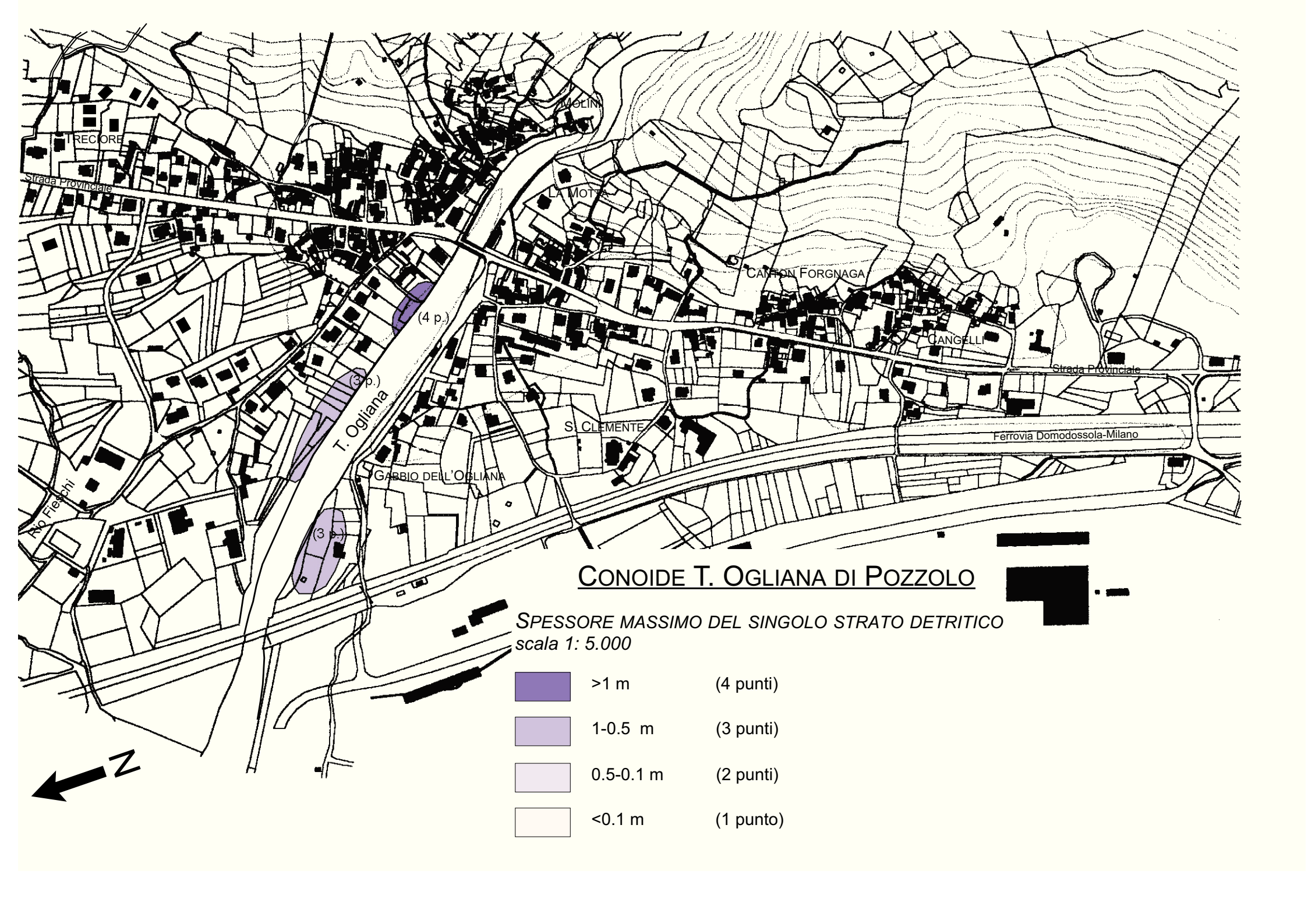
Livello idrometrico alla data della misura: 0.50 m

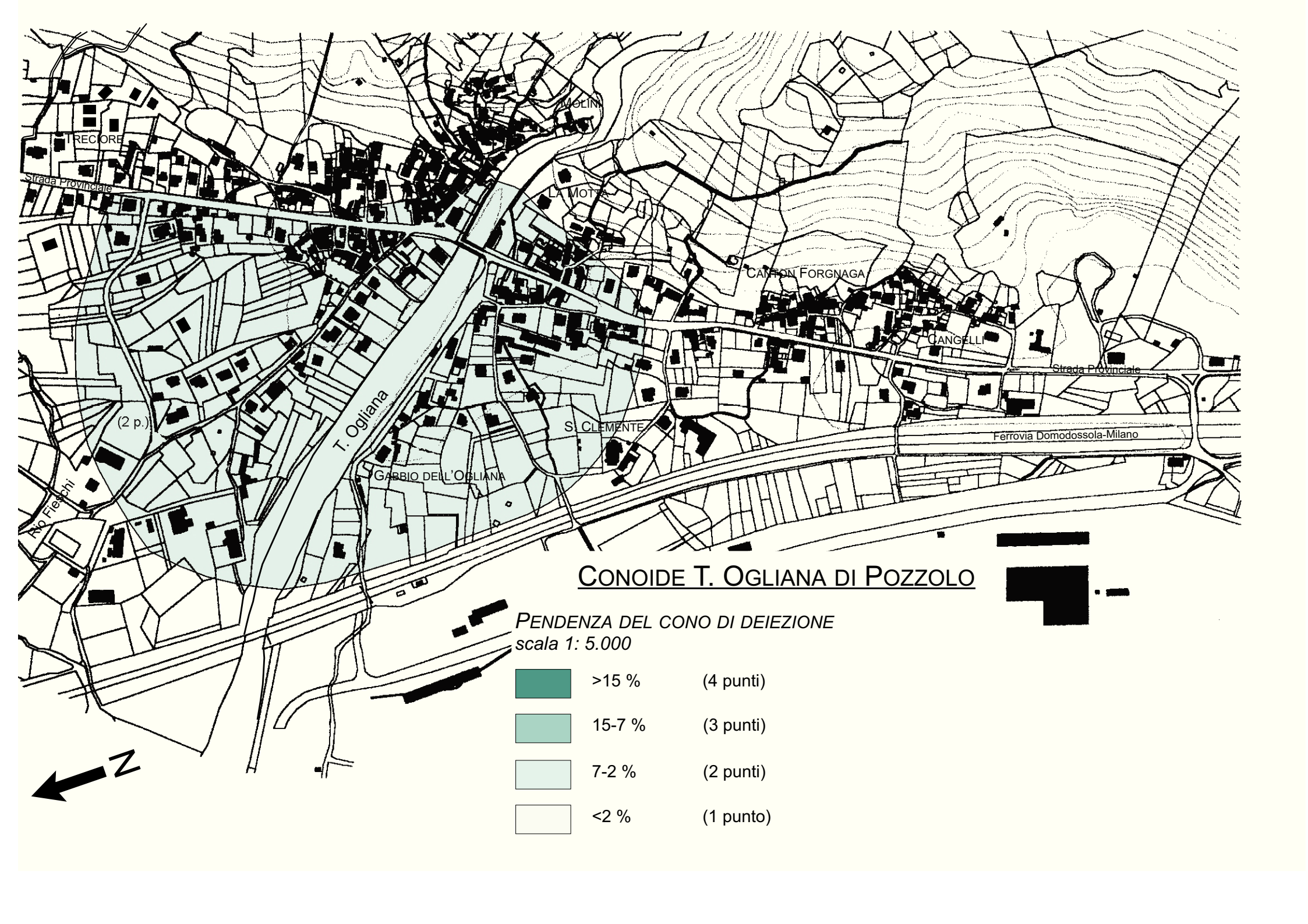
Presenza di vegetazione arbustiva infestante in alveo

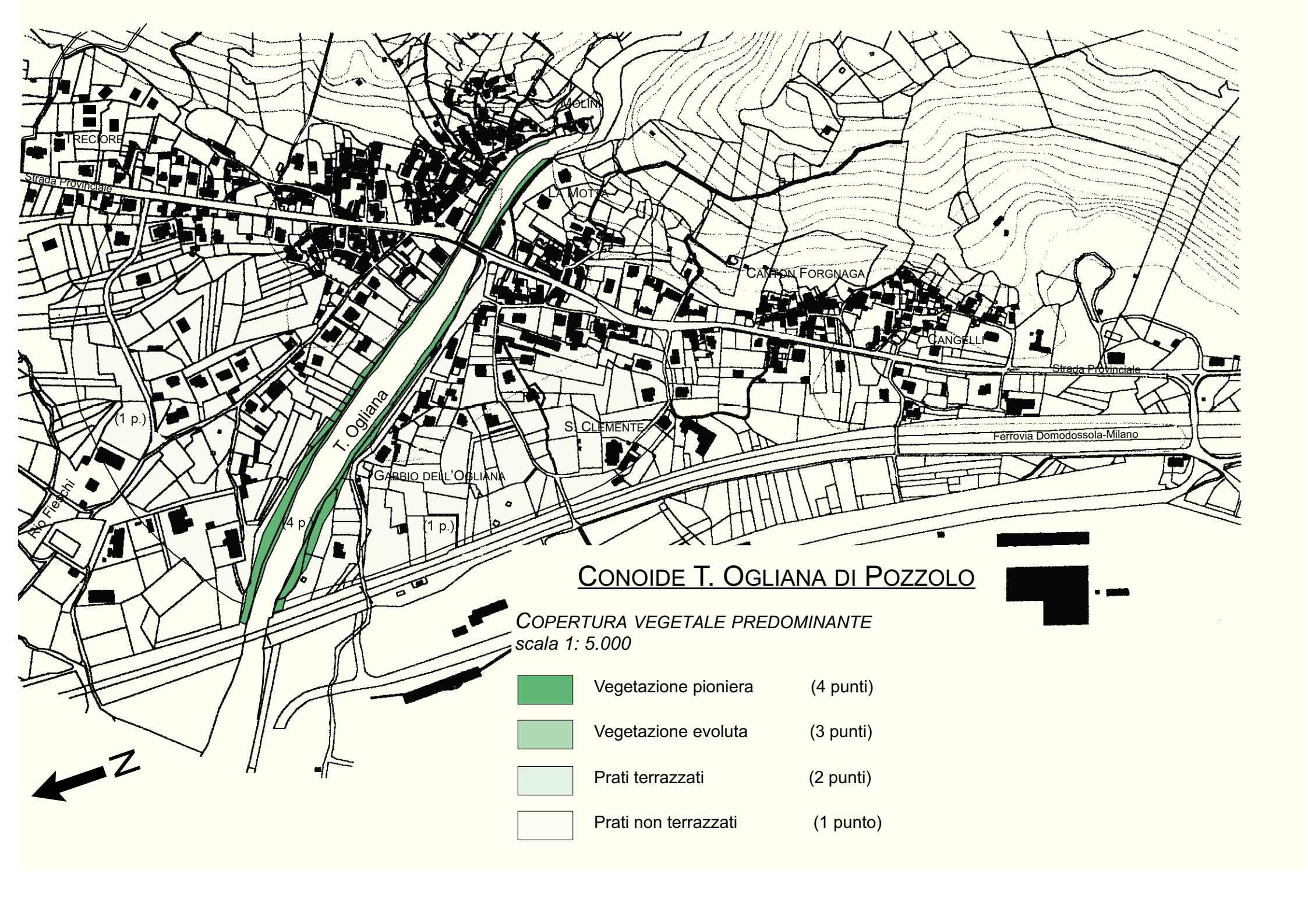
Data: 10 novembre 1998

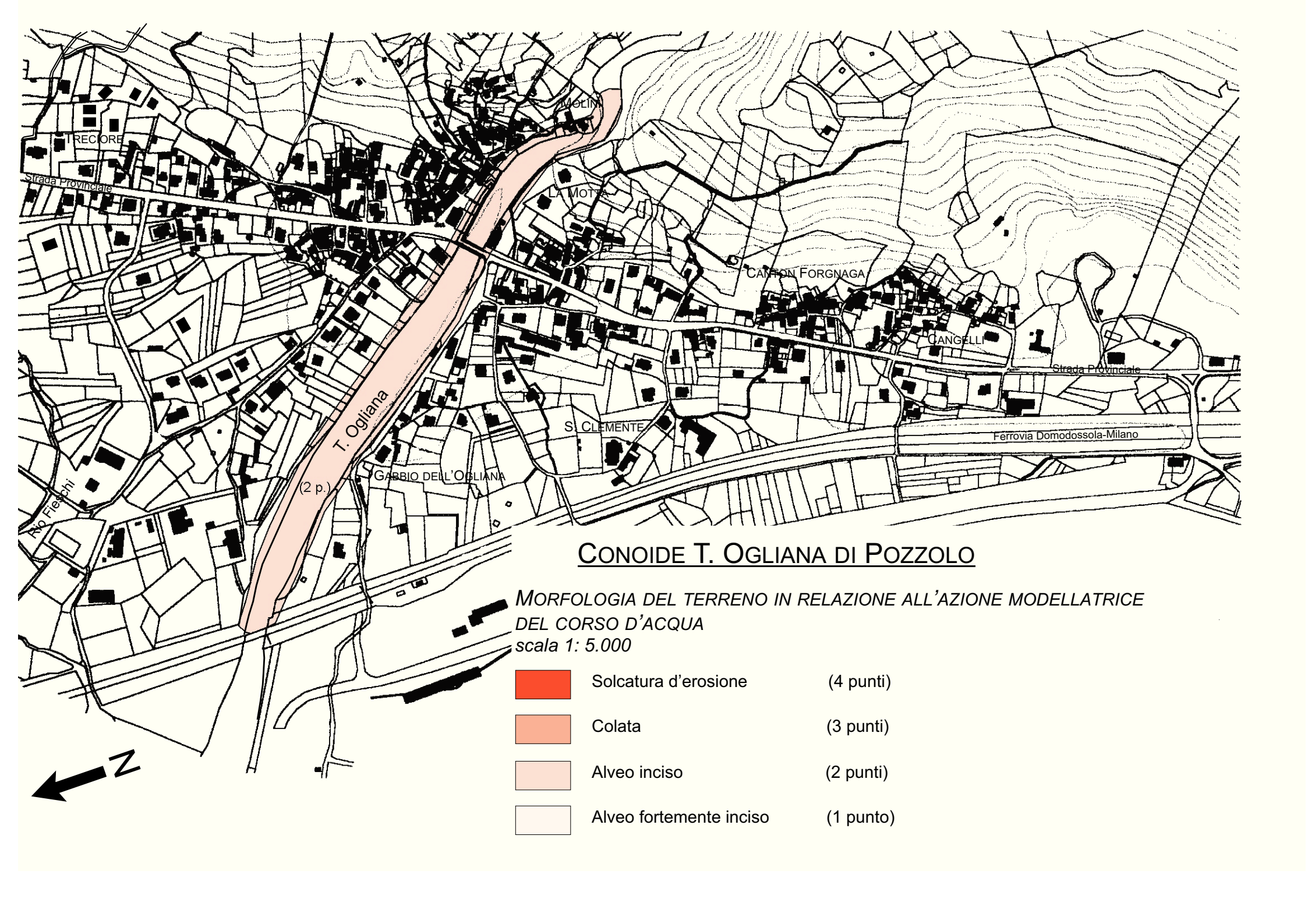


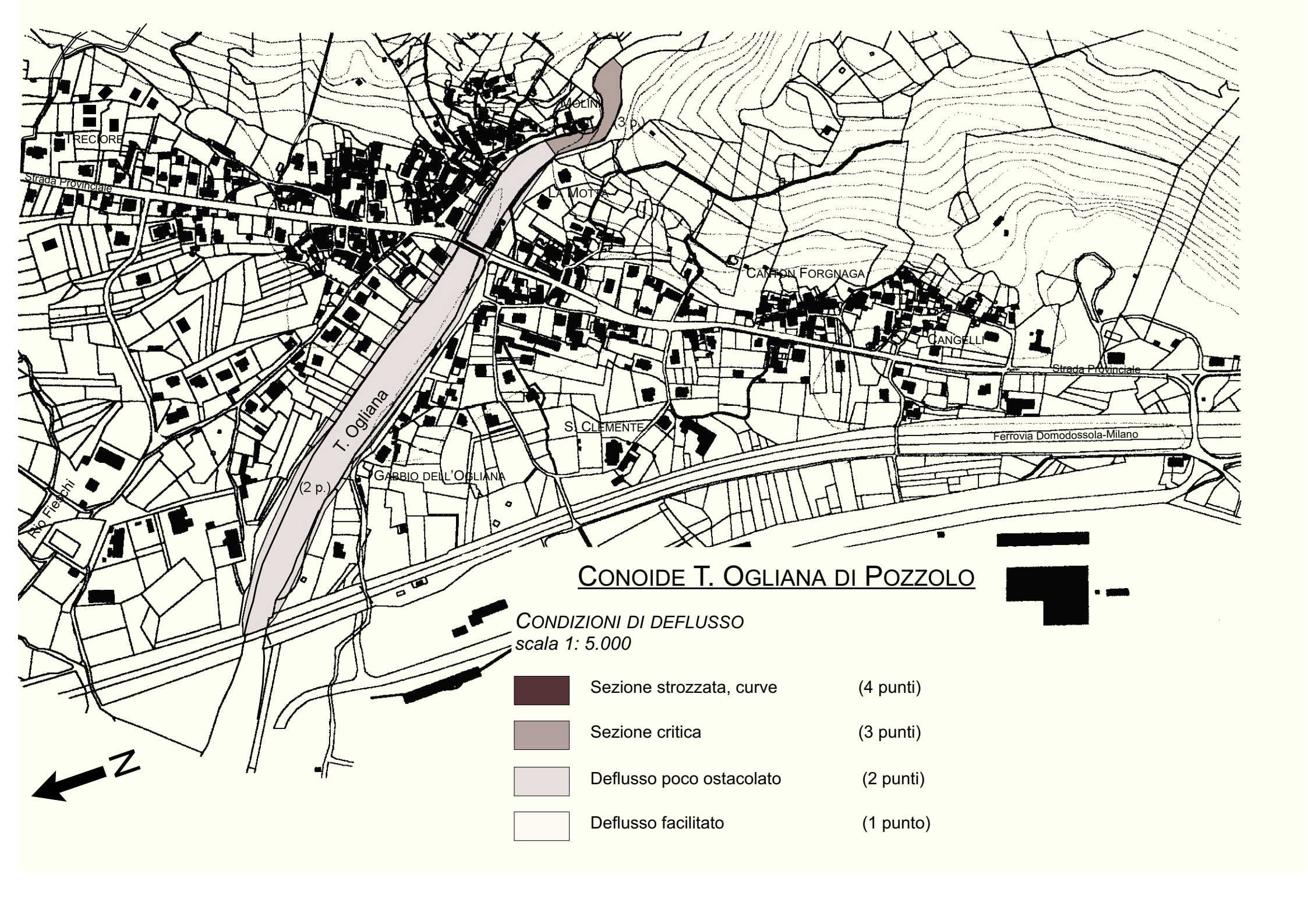


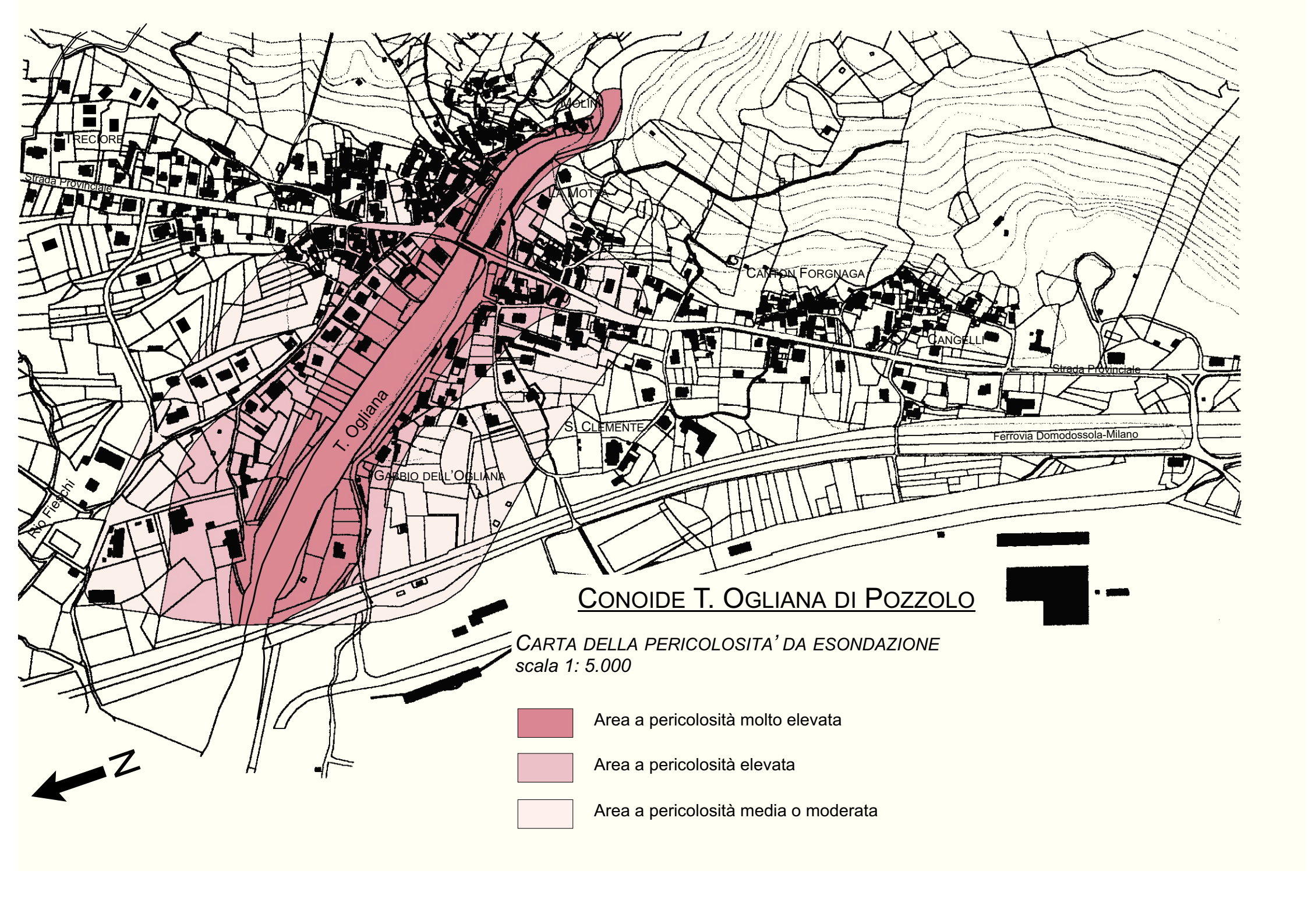












5. CONOIDE ALLUVIONALE RIO DI CUZZEGO

5.1 SCHEDA DI RILEVAMENTO

CONOIDE (codice)								
TRIBUTARIO (nome e) Rio di Cuzzego CODICE								
CORSO D'ACQUA RICETTORE (nome e codice) F. Toce POSIZIONE RISPETTO AL CORSO D'ACQUA RICETTORE Des. □ Sin. ■								
SEZIONE C.T.R. DI RIFERIMENTO (codice nome) 051120 Villadossola								
Conoide attivo con interventi di regimazione								
Conoide reinciso, stabilizzato, talora con più ordini di terrazzi								
Numero di ordini terrazzi riconosciuti								
Conoide quiescente, o stabilizzato per interventi di regimazione ■								
INQUADRAMENTO GEOMORFOLOGICO								
Conoide soggetto all'azione anche ordinaria del corso d'acqua ricettore □								
Conoide appoggiato su superfici di fondovalle terrazzate, non più interessato dall'azione del corso d'acqua ricettore								
Conoide attualmente sospeso rispetto al fondovalle principale								
Conoide costruito a valle di un precedente apparato di conoide, per l'approfondimento del corso d'acqua ricettore								
DANNI (RILEVATI O DA TESTIMONIANZE LOCALI) dan dis dan dis								
Centro abitato $A \blacksquare B \square$ Attraversamenti $G \square H \square$ Singolo edificio o nucleo abitato $C \blacksquare D \square$ Opere idrauliche $I \square L \square$ Viabilità $E \blacksquare F \square$ Manufatti in genere $M \square N \square$								
Anni (se conosciuti) e danni associati (riportare per anno la tipologia dei danni, ad es. 12/6/1993, C, G). 16/10/1610 A 23,24/08/1900 D 07/08/1978 C, D, E								
Tracce dell'altezza raggiunta dalla massa fluida di detriti (m) Da osservazione di terreno, in base a: depositi P; successioni di erosioni correlabili E; terrazzamenti Te sedimenti/tracce: su manufatti Tm; su vegetazione Tv Punto/i di misura (indicare il codice riportato sulla cartografia, l'altezza delle tracce dal fondo alveo ed il tipo di osservazione: ad es. T1, 5, Tv) Settore apicale 7,Tm (misura riferita al fondo alveo) Settore terminale								

OSSERVAZIONI SUL CANALE IMMEDIATAMENTE A MONTE DELL'APICE

Roccia Depositi Vegetazione Alveo	Caratteristiche	<u>Caratteristiche generali prevalenti</u>									
Sponde		Roccia		Depositi	Vegeta	azione					
Processi prevalenti Erosione al fondo Erosione laterale Deposito Granulometria prevalente dei materiali mobilizzabili Alveo Sponde Clasti massi ciottoli ghiaie massi ciottoli ghiaie Matrice fine Elevata Media Bassa APICE DEL CONOIDE Quota m s.l.m. Caratteristiche della soglia In roccia Angolo di immissione del canale in cornispondenza del roccia Angolo di immissione del canale in conoide a gomito Curvo Fresenza sulla superficie del conoide di sedimenti di recente deposizione Preve, fini Preve, fini	Alveo										
Erosione al fondo Erosione laterale Deposito Granulometria prevalente dei materiali mobilizzabili Alveo Sponde Clasti massi ciottoli ghiaie massi ciottoli ghiaie Matrice fine Blevata Granulometria prevalente dei materiali mobilizzabili Matrice fine Granulometria prevalente dei massi ciottoli ghiaie Granulometria prevalente fine Granulometria prevalent	Sponde										
Alveo Clasti massi ciottoli ghiaie massi ciottoli ghiaie Matrice fine Elevata Media Bassa APICE DEL CONOIDE APICE DEL CONOIDE Quota m s.l.m. APICE DEL CONOIDE Quota m s.l.m. Caratteristiche della soglia In roccia in materiale incoerente mista Angolo di immissione del canale in conoide a gomito curvo rettilineo CONOIDE Presenza sulla superficie del conoide di sedimenti di recente deposizione Prev. fini fini ingl. pezz. maggiori prev. grossolani Diametro medio dei massimi blocchi presenti Riconoscimento di uno o più antichi canali di scarico si no Osservazioni			Eros	ione laterale	e 🗆		Deposito	-			
Clasti massi ciottoli ghiaie massi ciottoli ghiaie Matrice fine	Granulometria	prevaler	nte dei m	ateriali mob	<u>ilizzabili</u>						
Matrice fine Elevata			Alveo				Sponde				
Matrice fine Elevata	Clasti	massi	ciottoli	ghiaie		massi	ciottoli	٤	ghiaie		
Elevata Media Bassa APICE DEL CONOIDE APICE DEL CONOIDE Quota m s.l.m.											
Media Bassa											
APICE DEL CONOIDE Quota m s.l.m.											
APICE DEL CONOIDE Quota m s.l.m.											
Quota m s.l.m.	Bassa										
Quota m s.l.m.											
Stima pendenza del tratto a: monte (°)				A	APICE DEL	CONO	IDE				
Stima pendenza del tratto a: monte (°)	0 1	_	•								
monte (°)		<u> </u>									
Caratteristiche della soglia In roccia in materiale incoerente mista Angolo di immissione del canale in conoide a gomito curvo rettilineo CONOIDE Presenza sulla superficie del conoide di sedimenti di recente deposizione Prev. fini fini ingl. pezz. maggiori prev. grossolani Diametro medio dei massimi blocchi presenti Riconoscimento di uno o più antichi canali di scarico si no Cosservazioni				e (°)	~8						
In roccia in materiale incoerente mista Angolo di immissione del canale in conoide a gomito curvo CONOIDE Presenza sulla superficie del conoide di sedimenti di recente deposizione Prev. fini fini ingl. pezz. maggiori prev. grossolani Diametro medio dei massimi blocchi presenti Riconoscimento di uno o più antichi canali di scarico si no Osservazioni	Sezione del ca	nale in c	orrispond	denza dell'a	pice (Codic	e scheda	sezione)			
Angolo di immissione del canale in conoide a gomito CURVO CONOIDE Presenza sulla superficie del conoide di sedimenti di recente deposizione Prev. fini fini ingl. pezz. maggiori prev. grossolani Diametro medio dei massimi blocchi presenti Riconoscimento di uno o più antichi canali di scarico si no Osservazioni	Caratteristiche	della so	glia								
CONOIDE Presenza sulla superficie del conoide di sedimenti di recente deposizione Prev. fini fini ingl. pezz. maggiori prev. grossolani Diametro medio dei massimi blocchi presenti Riconoscimento di uno o più antichi canali di scarico si no Osservazioni	In roccia		in mater	riale incoere	ente 🗆	mista	•				
CONOIDE Presenza sulla superficie del conoide di sedimenti di recente deposizione Prev. fini fini ingl. pezz. maggiori prev. grossolani Diametro medio dei massimi blocchi presenti Riconoscimento di uno o più antichi canali di scarico si no Osservazioni	Angolo di imn	nissione (del canal	e in conoide	e						
Presenza sulla superficie del conoide di sedimenti di recente deposizione Prev. fini □ fini ingl. pezz. maggiori□ prev. grossolani □ Diametro medio dei massimi blocchi presenti Riconoscimento di uno o più antichi canali di scarico si □ no ■ Osservazioni	a gomito 🛚		curvo •		rettilin	eo 🗆					
Presenza sulla superficie del conoide di sedimenti di recente deposizione Prev. fini □ fini ingl. pezz. maggiori□ prev. grossolani □ Diametro medio dei massimi blocchi presenti Riconoscimento di uno o più antichi canali di scarico si □ no ■ Osservazioni											
Prev. fini ☐ fini ingl. pezz. maggiori☐ prev. grossolani ☐ Diametro medio dei massimi blocchi presenti Riconoscimento di uno o più antichi canali di scarico si ☐ no ■ Osservazioni	CONOIDE										
Diametro medio dei massimi blocchi presenti Riconoscimento di uno o più antichi canali di scarico si no Osservazioni	Presenza sulla superficie del conoide di sedimenti di recente deposizione										
Riconoscimento di uno o più antichi canali di scarico si no Osservazioni	Prev. fini ☐ fini ingl. pezz. maggiori☐ prev. grossolani ☐										
si 🗖 no 🔳 Osservazioni	Diametro med	io dei ma	assimi blo	occhi preser	nti					<u> </u>	
Osservazioni	Riconoscimento di uno o più antichi canali di scarico										
	si 🗆	no									
Osservato un blando avvallamento nel tratto medio-apicale del conoide, in sponda destra, alle spalle dell'argine	Osservazioni										
	Osservato un bla	ındo avval	lamento n	el tratto medi	io–apicale del	conoide,	in sponda de	estra, allo	e spalle d	lell'argine	

CANALE DI SCARICO ATTIVO

Posizione del canale di scarico attivo Mediano □ laterale in sinistra □ laterale in destra ■	
Migrazione presumibile avvenuta nel tempo del canale attivo	
wingrazione presumione avvenuta nei tempo dei canale attivo	
Da sinistra a destra da destra a sinistra da sinistra a centrale	
Da centrale a sinistra □ da destra a centrale □ da centrale a destra ■	
<u>Caratteristiche del canale di scarico attivo</u> Settori: (apicale, mediano, terminale)	
Apic. Med. Ter.	
□ □ Canale poco inciso	
■ ■ Canale inciso	
□ □ Canale di scarico pensile	
□ □ Pensile per intervento antropico	
Regimato con opere di difesa	
Altezza minima delle sponde dal fondo-alveo Ampiezza media del canale di scarico attivo	
Apic. Med. Ter. Apic. Med. Tern	n.
Sin. ~3 m ~3.5 m ~m ~15 m ~30 m ~25 m	
Des. $\sim 3 \text{ m}$ $\sim 3.5 \text{ m}$	
Dimensione massima dei blocchi presenti nei settori apicale, mediano, terminale (diametro medio)	
Apic.m ~0.5 Med. m ~0.3 Ter.m. ~0.15	
CONFLUENZA	
Quota m s.l.m. ~ 230	
Attività prevalente del tributario rispetto al ricettore (es. l'apparato di conoide ha deviato il corso d'acqua ricettore)	
Attività prevalente del corso d'acqua ricettore rispetto al tributario	
(es. l'apparato di conoide è stato eroso dal corso d'acqua ricettore)	
Attività del tributario e del ricettore in equilibrio	
Valutazione non possibile Sedimenti trasportati dal tributario nella zona di confluenza	
assenti presenti assenti	

INFRASTRUTTURE

Opere sul conor	<u>ide</u>					
Opera viaria:	SC ■	SP ■	SS 🗆	autost 🗖	ferr. ■	altro 🗖
Attraversament	i:	ponte		alt	tro 🗖	
Manufatti: edifi	ici		altro •	ı	Stima %	aree edificate: ~55 %
Canale di scario	co attivo	<u>.</u>				
Opere di difesa						
Si ■ (schede	e)		No 🗖			
Opere interferen	nti con i	l canale	di scari	co attivo		
Opera viaria:	SC 🗆	SP ■	SS 🗆	autost 🗖	ferr. ■	altro 🗖
Attraversament	i:	ponte		alt	tro 🗖	
Manufatti: edifi	ici 🗆	altro 🗆	1			
Opere interferen	nti con a	ntichi c	anali di	scarico		
Opera viaria:	SC □	SP 🗖	SS 🗆	autost 🗖	ferr. 🗖	altro 🗖
Attraversament	i: ponte			altro 🗖		
Manufatti: edifi	ici		altro [1		
	a tavola <i>I</i>	Direttrici	di deflu		di esondazione :	allegata al Paragrafo $2.D_2$ inerente la valutazione o da Aulitzky (1973))
Allegati:						
Elenco cartografi	ie prodott	te:				
_		_	_	unti critici e	dei punti di osse	ervazione e misura
- ubicazione o	-					
- Scheda sezio	-		codice			
- Scheda oper		he	codice/i			
- Schede fotog	grafie: 🗖		codice/i			
- Schede dati s	storici su	eventi p	regressi:	■ co	dice/i	
- Schede docu	ımentazio	ne: 🗖	codice/i			

5.2 VALUTAZIONE DELLA PERICOLOSITÀ DELLA CONOIDE ALLUVIONALE

5.2.1 Melton (1965)

Il numero di Melton (M_e) è un indice che esprime le condizioni di rilievo e di acclività del bacino e viene calcolato nel seguente modo:

$$M_e = (H_{\text{max}} - H_{\text{min}}) \times A^{-0.5}$$

 H_{max} : quota massima del bacino;

 H_{min} : quota apice conoide;

A: superficie del bacino

Per il bacino in esame risulta:

$$M_e = (1,710 \text{ km} - 0.280 \text{ km}) \times (1.66 \text{ Km}^2)^{-0.5} = 1.11 > 0.50$$

bacino a rischio di debris-flow

Secondo lo schema interpretativo proposto da alcuni Autori (*Marchi* et al., 1993; *Ceriani* et al.,1998) un numero di Melton superiore all'unità indica una prevalenza di trasporto *debris-flow* (colate detritiche), indipendentemente dalla pendenza media della conoide (in questo caso maggiore del 10%).

5.2.2 Aulitzky (1973)

Si rimanda al paragrafo 1.1.2 per alcune generalità sul metodo.

In seguito all'evento alluvionale dell'agosto 1978, nei tratti apicale e mediano del canale di scarico attivo sono state realizzate opere idrauliche longitudinali e trasversali, la cui presenza riduce, di fatto, la possibilità di esondazione del corso d'acqua in caso di piene a carattere eccezionale. Sulla base delle osservazioni svolte in sito, possibili punti critici di disalveamento, in condizioni estreme, potrebbero trovarsi in corrispondenza degli attraversamenti (in particolare, ponte della S.C. in zona apicale, dove il corso d'acqua piega prima verso Ovest, quindi verso Nord-Ovest), delle soglie che riducono l'altezza delle sponde nel tratto mediano ed, eventualmente, del restringimento d'alveo a valle della S.P..

Per la conoide in esame è stato possibile rispondere a 5 delle 6 domande del questionario di Aulitzky:

- ✓ per la domanda n.1 (Dimensioni massime del materiale trasportato o eroso di recente) le osservazioni riguardano solo il canale di scarico attivo, non essendo presenti sulla conoide depositi di recente sedimentazione, né scavi aperti;
- ✓ per quanto riguarda i quesiti n.3 (Pendenza del cono di deiezione), n.4 (Attuale copertura vegetale predominante) le osservazioni eseguite hanno permesso di interpolare i dati estendendoli a buona parte della superficie della conoide. Anche in questo caso, al quesito riguardante la vegetazione è stata attribuita un'importanza relativa, valutata singolarmente per ogni maglia;
- ✓ infine, per i quesiti n.5 (Morfologia del terreno in funzione dell'erosione) e n.6 (Condizioni di deflusso) i dati raccolti riguardano il canale di scarico attivo e le fasce latistanti.

In nessun punto è stato possibile osservare lo spessore di strati detritici attribuibili ad un singolo evento di trasporto in massa (quesito n.2. *Massimo spessore del singolo strato dei depositi riconoscibili differenziato dall'orizzonte umifero o da uno strato a differente struttura*).

Le interpolazioni operate sui dati degli indicatori morfologici, hanno permesso di definire il parametro pericolosità secondo Aulitzky, su gran parte della superficie della conoide.

Per la conoide in esame la cartografia tematica e di sintesi è stata realizzata a partire da una base catastale a scala 1: 2.500, alla quale è stata sovrapposta la topografia (curve di livello) tratta dalla C.T.R.; tale base è stata suddivisa in celle di 1.6 cm di lato, pari ad un passo di 40 m.

Si precisa che, nelle tavole allegate, in legenda sono state riportate tutte le risposte previste da Aulitzky, anche quando non presenti nella situazione in esame.

5.3 VALUTAZIONE EMPIRICA DEI VOLUMI DI SEDIMENTO POTENZIALMENTE TRASPORTATI DALLE COLATE DETRITICHE

5.3.1. Metodo di Hampel (1977)

Dalla valutazione eseguita secondo il metodo di Hampel, per il Rio di Cuzzego si ricava quanto segue:

$$M = 150 \times A(Jc-3)^{2.3}$$

A (area del bacino in kmq = 1.66

Jc (pendenza del conoide in %) = 11

 $M = 29737 \, mc$

In apice del conoide sono già state realizzate, e risultano in ottimo stato di manutenzione, due briglie selettive (opere siglate C_B1a,b) con buona capacità di ritenuta. Per la precisione, da stima operata sul terreno, l'insieme delle briglie e delle soglie esistenti in apice di conoide può trattenere un totale di circa 10.000 m³.

5.3.2. Metodo di Marchi et Al. (1996)

In merito alla valutazione eseguita secondo il metodo di Marchi et Al., si ricava quanto segue:

$$M = 70000 \times A$$

A (area del bacino in kmq = 1.66

 $M = 116200 \ mc$

5.3.3. Metodo di Rickenmann (1997)

In merito alla valutazione eseguita secondo questo metodo, si ricava quanto segue:

$$M = (110 - 2.5 \times Jc) \times L$$

Jc (pendenza del conoide in %) = 11

L (distanza percorsa dalla colata in m) = 600

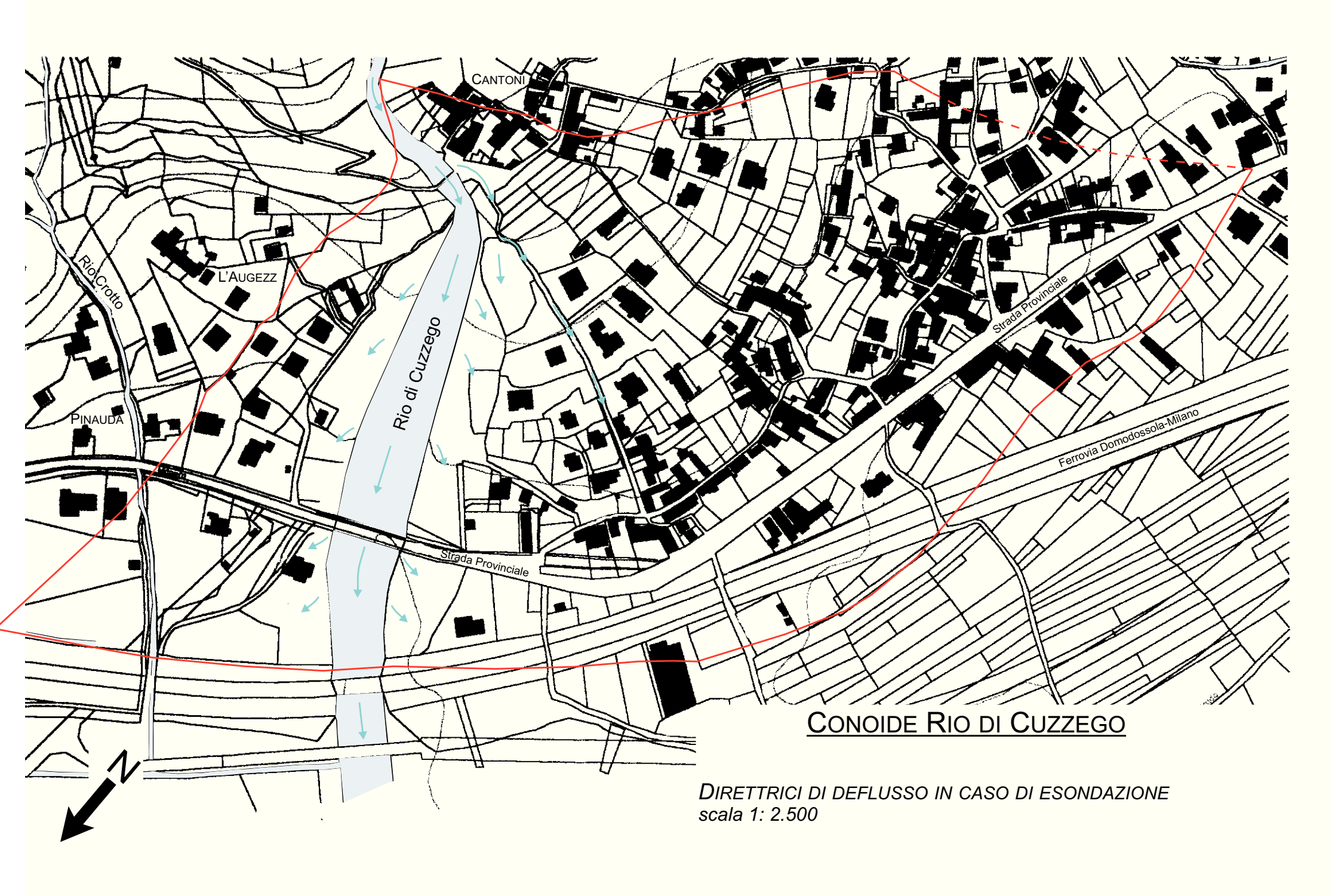
 $M = 49500 \ mc$

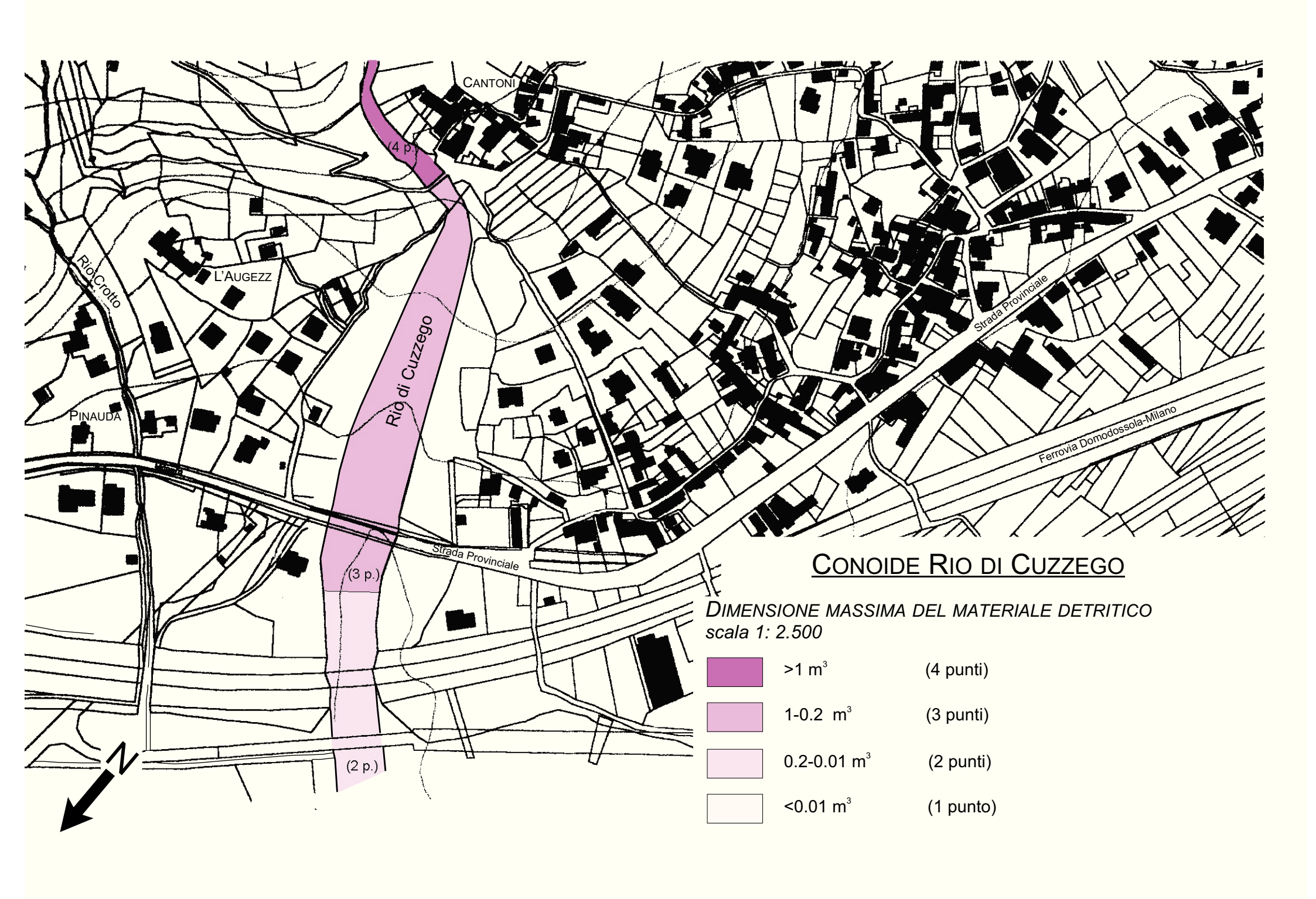
Z

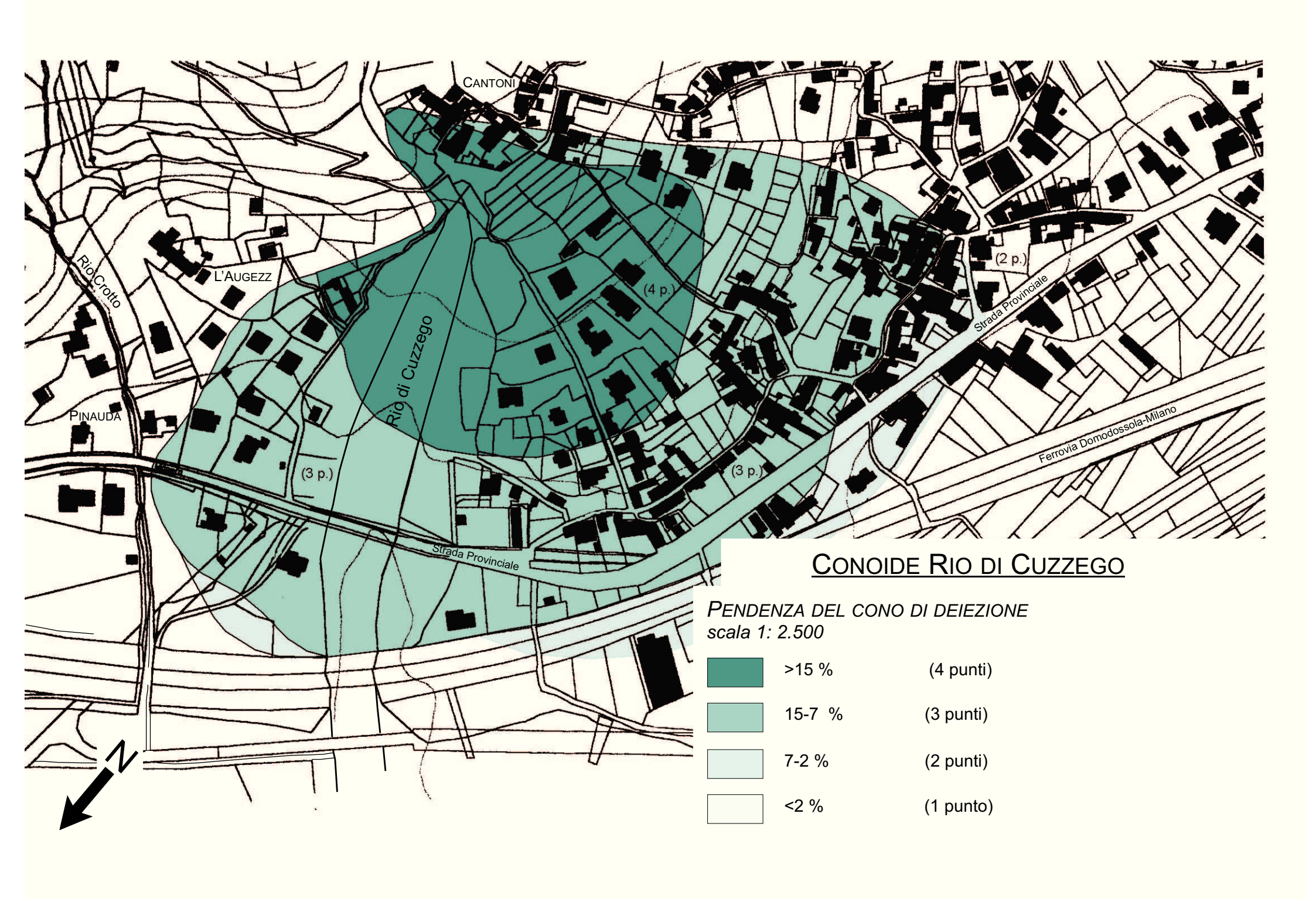
Livello idrometrico alla data della misura: 0.1 m \bigcirc Legenda sezione trasversale Substrato roccioso Briglia filtrante in c.a.

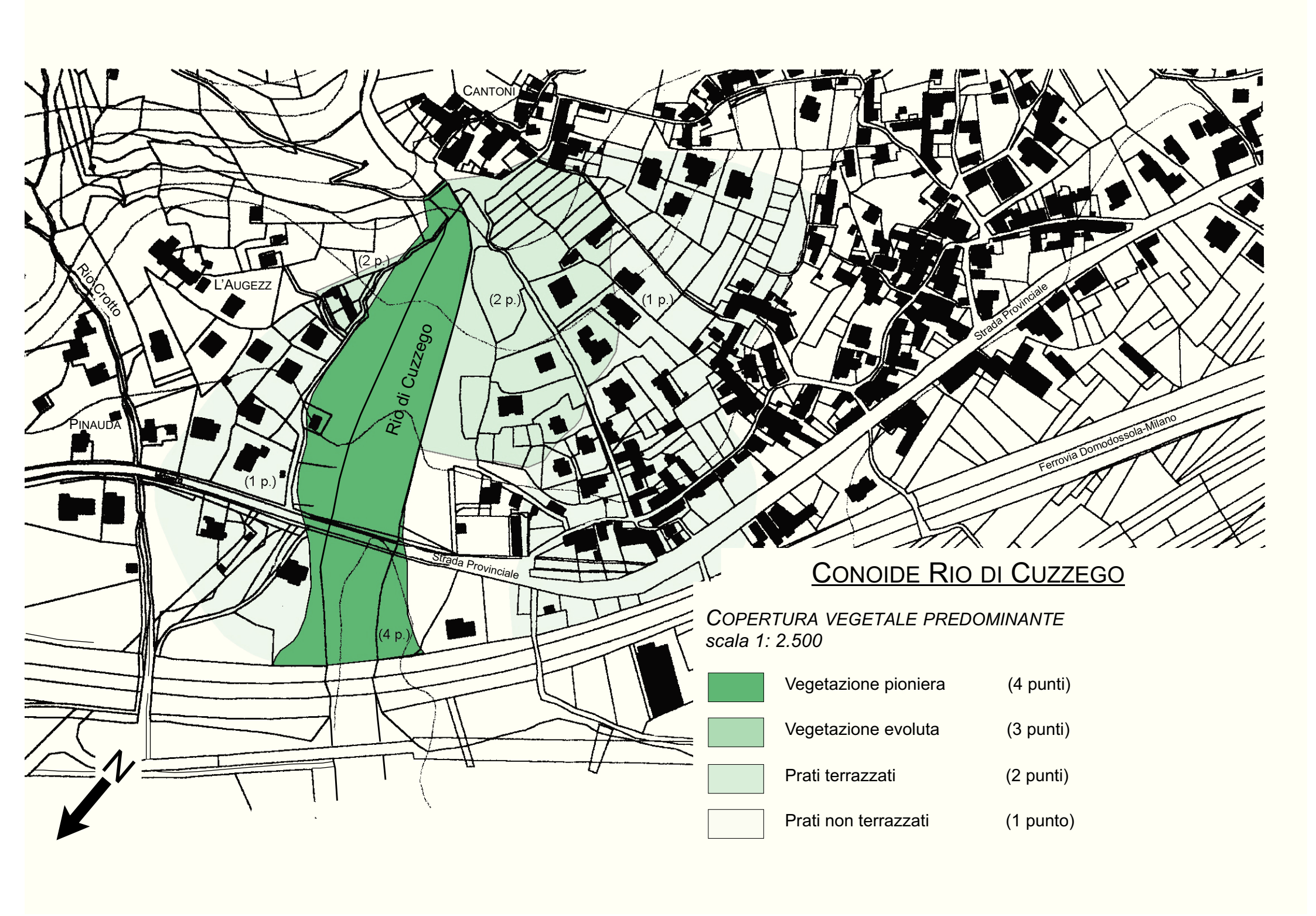
Presenza di vegetazione arbustiva infestante in alveo

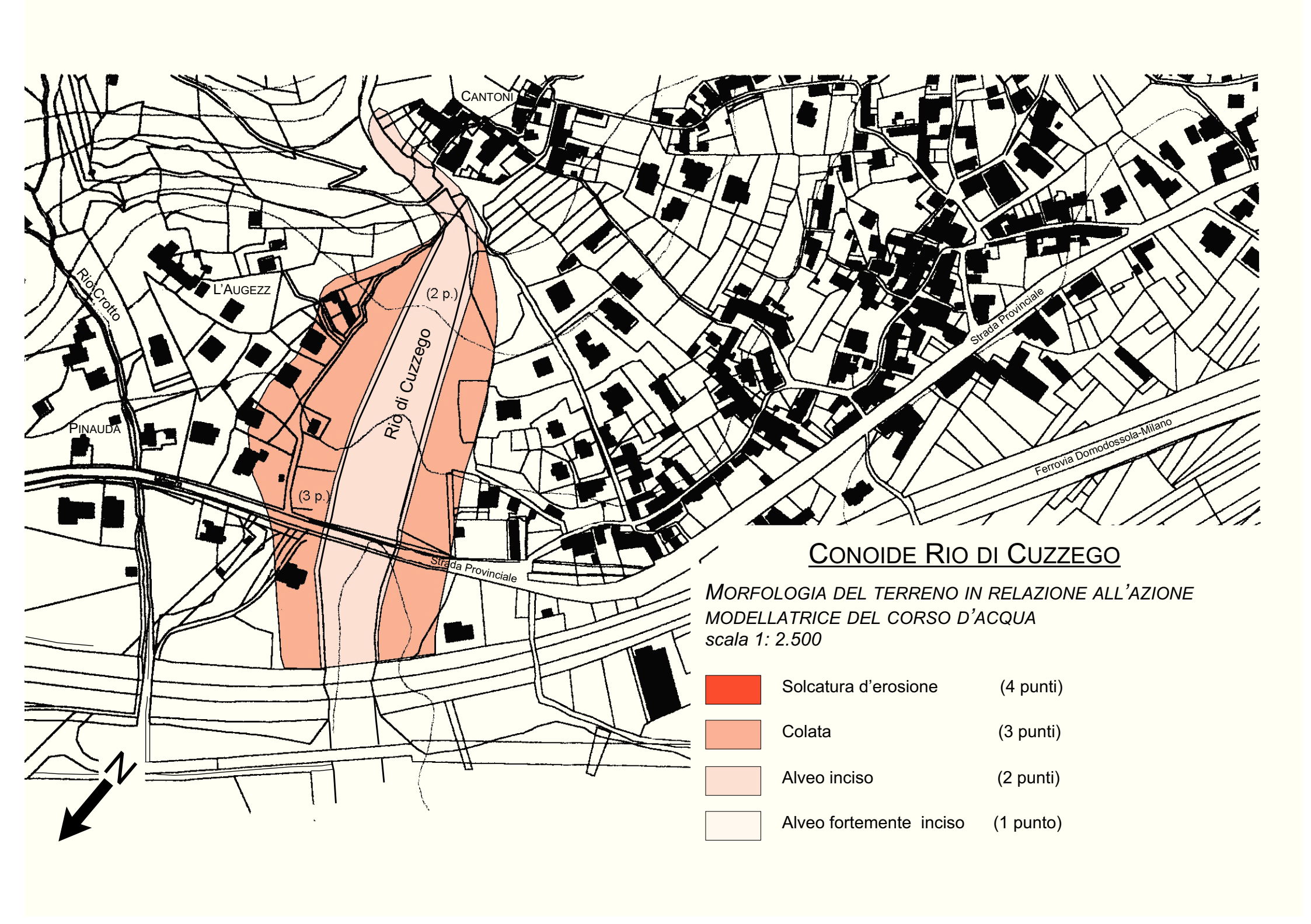
Data: 10 novembre 1998

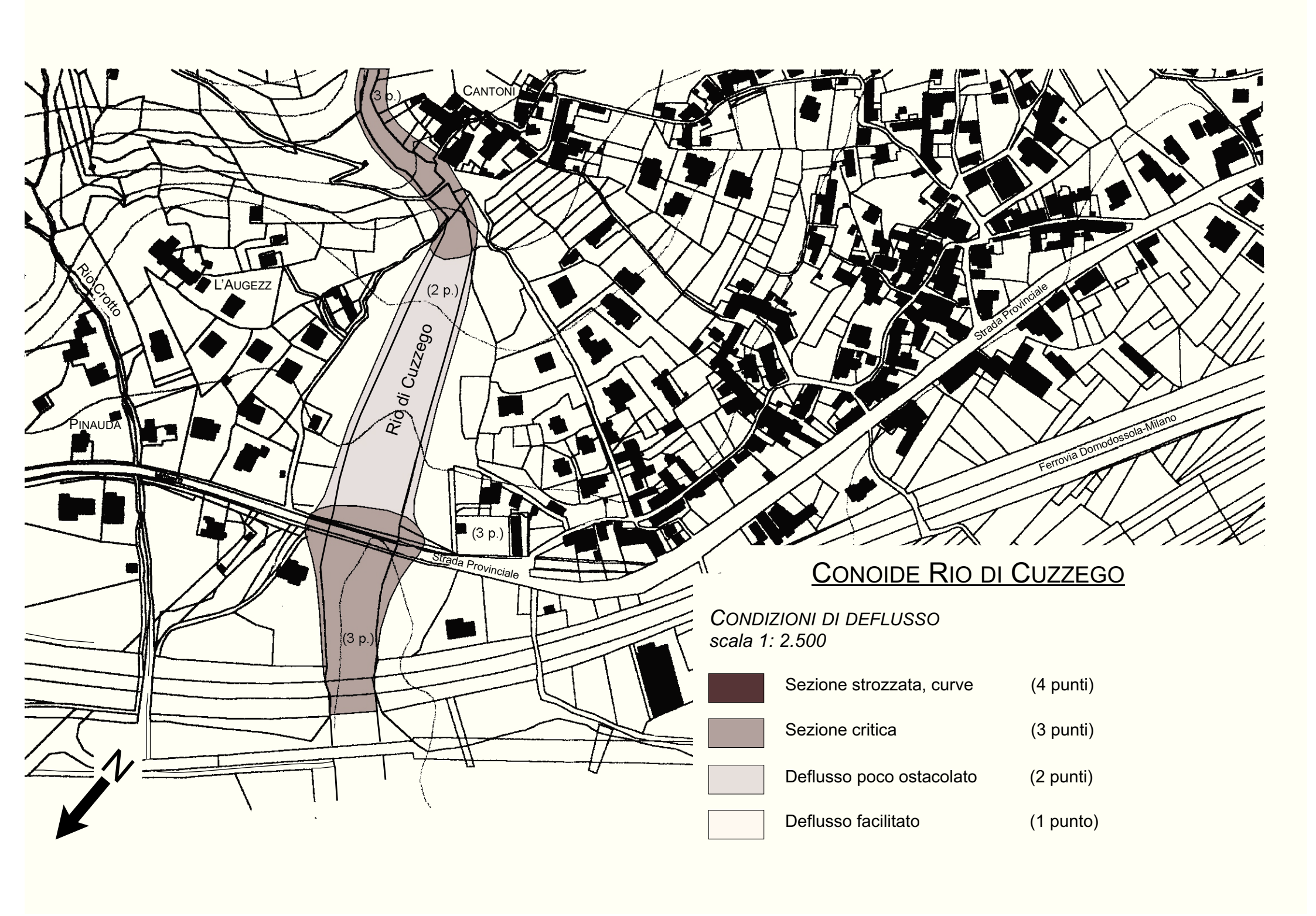


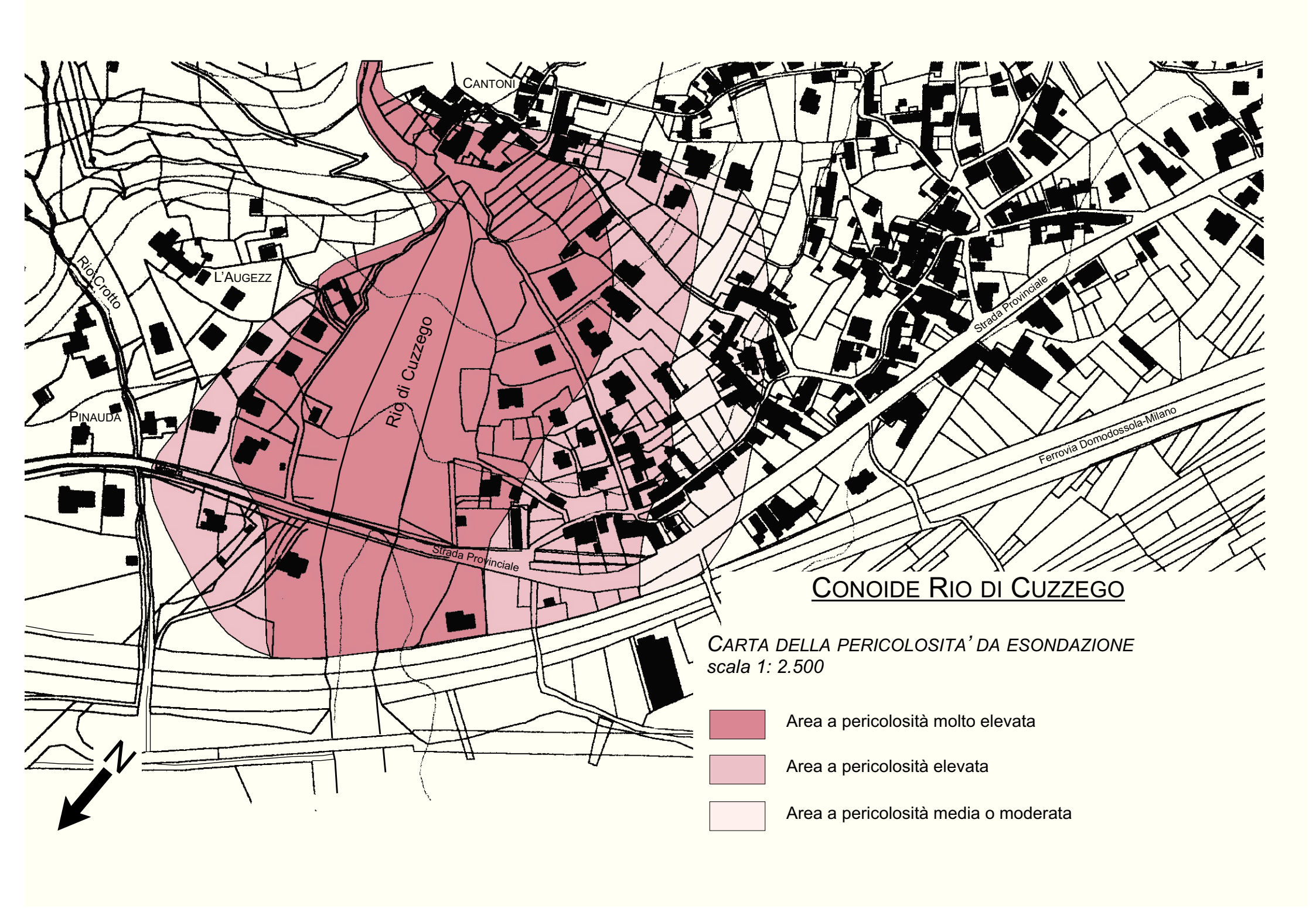












6. CONOIDE ALLUVIONALE RIO DI PRATA

6.1 SCHEDA DI RILEVAMENTO

CONOIDE (codice)						
TRIBUTARIO (nome e) Rio di Pri	ata			CODICE		
CORSO D'ACQUA RICETTORE	E (nome	e e codice) <u>F</u>	T. Toce	<u> </u>		
POSIZIONE RISPETTO AL CORS	SO D'A	CQUA RICE	TTORE	Des. \square	Sin. ■	
SEZIONE C.T.R. DI RIFERIMENT	ΓO (cod	lice nome) <u>(</u>	51160 Vogogna	ı		
Conoide attivo ■	co	on interventi o	li regimazione	46		
Conoide reinciso, stabilizzato, talora	a con pi	iù ordini di te	rrazzi 🗖			
Numero di ordini terrazzi riconosciu	uti					
Conoide quiescente, o stabilizzato p	er inter	venti di regin	nazione			
INQUADRAME	ENTO C	GEOMORFO!	LOGICO			
Conoide soggetto all'azione anche o	ordinari	a del corso d'	acqua ricettore	0	Q.	
Conoide appoggiato su superfici di non più interessato dall'azione del c					No.	
Conoide attualmente sospeso rispett	to al for	ndovalle princ	ipale 🗖	7		
Conoide costruito a valle di un precedel corso d'acqua ricettore	edente a	apparato di co	onoide, per l'app	profondimento		A STATE OF THE STA
· ·		ATI O DA TE dis	ESTIMONIANZ	E LOCALI) dan	dis	
Singolo edificio o nucleo abitato	С	B □ D □ F □	Attraversamer Opere idraulic Manufatti in g	he I 🗆	H □ L □ N □	
Anni (se conosciuti) e danni associa 16/10/1610 D(?) (?)23,24/08/1900	ati (ripo	ortare per anno	la tipologia dei	danni, ad es. 12	2/6/1993, C, 0	J).
Tracce dell'altezza raggiunta dalla r Da osservazione di terreno, in base a depositi P; successioni di erosioni co sedimenti/tracce: su manufatti Tm; s Punto/i di misura (indicare il codice a osservazione: ad es. T1, 5, Tv) Settore apicale Settore mediano Settore terminale	a: orrelabi su vege	ili E; terrazza tazione Tv	menti Te	lle tracce dal fo	ondo alveo ed	l il tipo di

OSSERVAZIONI SUL CANALE IMMEDIATAMENTE A MONTE DELL'APICE

Caratteristiche	generali	prevalen	ı <u>ti</u>					
	Roccia		Depositi	Veget	azione			
Alveo								
Sponde	-			-				
Processi preva				_			_	
Erosione al for	ndo ■	Erosi	ione laterale			Deposito		
Granulometria	prevalen		ateriali mobi	<u>lizzabili</u>				
		Alveo			_	Sponde		
Clasti		ciottoli	ghiaie _		massi	ciottoli	ghiaie	
M. i. C		•						
Matrice fine Elevata								
Media								
Bassa		_				■		
Dassa		Ь				-		
			A :	DICE DE	CONO	IDE		
			A	PICE DEI	L CONO	IDE		
Quota m s.l.m.		~240						
Stima pendenz	za del trat	to a:						
monte (°)	~25	valle	e (°)	-4				
Sezione del ca	nale in co	orrispond	lenza dell'ap	ice (Codio	e scheda	a sezione)	
Caratteristiche	della sog	glia						
In roccia		in mater	riale incoerer	nte 🗆	mista			
Angolo di imn	nissione d	lel canale	e in conoide					
a gomito ■		curvo 🗆		rettilir	neo 🗖			
4		1	1					
		()			/			
	Ļ		1					
				CON	OIDE			
Daggarage 21112		مراما م	i d . di di.					
Presenza sulla Prev. fini	supernci					rossolani		
Diametro med	_	_	. pezz. magg		1 0			
								_
Riconoscimen		o più ant	tichi canali c	ıı scarıco				
si 🗆	no							
Osservazioni								

CANALE DI SCARICO ATTIVO

Posizione del canale di scarico attivo Mediano ■ laterale in sinistra □ laterale in destra □
Migrazione presumibile avvenuta nel tempo del canale attivo
Da sinistra a destra da destra a sinistra da sinistra a centrale
Da centrale a sinistra da destra a centrale da destra da centrale a destra
Caratteristiche del canale di scarico attivo Settori: (apicale, mediano, terminale)
Apic. Med. Ter.
□ □ ■ Canale poco inciso
■ ■ Canale inciso
□ □ Canale di scarico pensile
Pensile per intervento antropico
Regimato con opere di difesa
Altezza minima delle sponde dal fondo-alveo Ampiezza media del canale di scarico attivo
Apic. Med. Ter. Apic. Med. Term. Sin. ~4 m ~2.5 m ~10 m ~10 m ~10 m
Des. \[\times 4 \text{ m} \] \[\times 2.5 \text{ m} \]
Dimensione massima dei blocchi presenti nei settori apicale, mediano, terminale (diametro medio)
Apic.m ~0.7 Med. m ~0.4 Ter.m. ~0.10
CONFLUENZA
Quota m s.l.m. ~ 226
Attività prevalente del tributario rispetto al ricettore
(es. l'apparato di conoide ha deviato il corso d'acqua ricettore) Attività prevalente del corso d'acqua ricettore rispetto al tributario
(es. l'apparato di conoide è stato eroso dal corso d'acqua ricettore)
Attività del tributario e del ricettore in equilibrio
Valutazione non possibile Sedimenti trasportati dal tributario nella zona di confluenza
assenti □ presenti ■

INFRASTRUTTURE

Opere sul cono	<u>oide</u>					
Opera viaria:	SC ■	SP ■	SS 🗆	autost 🗖	ferr. ■	altro 🗖
Attraversamen	ti:	ponte		alt	tro 🗖	
Manufatti: edif	ici		altro •		Stima %	aree edificate: ~40 %
Canale di scari	co attivo	<u>):</u>				
Opere di difesa	ı					
Si (schede	e)		No 🗖			
Opere interfere	enti con i	l canale	di scari	co attivo		
Opera viaria:	SC 🗆	SP ■	SS 🗆	autost 🗖	ferr. ■	altro 🗖
Attraversament	ti:	ponte		alt	tro 🗖	
Manufatti: edif	řici 🗆	altro [3			
Opere interfere	enti con a	antichi c	anali di	scarico		
Opera viaria:					ferr. 🗖	altro 🗖
Attraversament				altro 🗖		
Manufatti: edif	•		altro [3		
Punti di possi	BILE DIS	ALVEAN	MENTO	si ■ no) -	
						allegata al Paragrafo 2.E ₂ inerente la valutazione da Aulitzky (1973))
dena pericolosita	a della co	noide an	uvionaic	sccolido II II	nctodo proposto	ua Auntzky (1973))
Allegati:						
Elenco cartograf	ie prodot	te:				
- carta degli e	elementi n	norfolog	ici, dei p	unti critici e	dei punti di osse	ervazione e misura □
- ubicazione d	opere idra	uliche •				
- Scheda sezio	one apice	: ■	codice			
- Scheda oper	re idraulic	ehe ■	codice/	i		
- Schede foto	grafie: 🗖		codice/	i		
- Schede dati	storici su	eventi p	regressi:	■ co	dice/i	
- Schede docu	umentazio	one: 🗖	codice/	i		

6.2 VALUTAZIONE DELLA PERICOLOSITÀ DELLA CONOIDE ALLUVIONALE

6.2.1 Melton (1965)

Il numero di Melton (M_e) è un indice che esprime le condizioni di rilievo e di acclività del bacino e viene calcolato nel seguente modo:

$$M_e = (H_{\text{max}} - H_{\text{min}}) \times A^{-0.5}$$

 H_{max} : quota massima del bacino;

 H_{min} : quota apice conoide;

A: superficie del bacino

Per il bacino in esame risulta:

$$M_e = (2,013 \text{ km} - 0.240 \text{ km}) \times (3.45 \text{ Km}^2)^{-0.5} = 0.95 > 0.50$$

bacino a rischio di debris-flow

Secondo lo schema interpretativo proposto da alcuni Autori (*Marchi* et al., 1993; *Ceriani* et al.,1998) un numero di Melton superiore all'unità indica una prevalenza di trasporto *debris-flow* (colate detritiche), indipendentemente dalla pendenza media della conoide (in questo caso minore del 10%).

6.2.2 Aulitzky (1973)

Si rimanda al paragrafo 1.1.2 per alcune generalità sul metodo.

I tratti apicale e mediano del canale di scarico attivo sono regimati con opere idrauliche longitudinali e trasversali, la cui presenza riduce, di fatto, la possibilità di esondazione del corso d'acqua in caso di piene a carattere eccezionale. In base alle caratteristiche morfologiche, il principale punto critico è in apice di conoide dove il canale di scarico attivo si immette formando un doppio gomito; è stato considerato come possibile punto di disalveamento anche l'attraversamento della S.P..

Per la conoide in esame è stato possibile rispondere a 5 delle 6 domande del questionario di Aulitzky:

- ✓ per la domanda n.1 (Dimensioni massime del materiale trasportato o eroso di recente) le osservazioni riguardano il canale di scarico attivo, e la fascia latistante in sponda sinistra. Inoltre, la significatività di tale parametro risulta ridotta per effetto dei lavori di disalveo eseguiti recentementei;
- ✓ per quanto riguarda i quesiti n.3 (Pendenza del cono di deiezione), n.4 (Attuale copertura vegetale predominante) le osservazioni eseguite hanno permesso di interpolare i dati estendendoli a buona parte della superficie della conoide. Anche in questo caso, al quesito riguardante la vegetazione è stata attribuita un'importanza relativa, valutata singolarmente per ogni maglia;
- ✓ infine, per i quesiti n.5 (Morfologia del terreno in funzione dell'erosione) e n.6 (Condizioni di deflusso) i dati raccolti riguardano il canale di scarico attivo e le fasce latistanti. In particolare, alla domanda n.5 si è data risposta nel settore apicale e medio-apicale destro, dove alle solcature longitudinali presenti è stato attribuito il significato di colata.

In nessun punto è stato possibile osservare lo spessore di strati detritici attribuibili ad un singolo evento di trasporto in massa (quesito n.2. *Massimo spessore del singolo strato dei depositi riconoscibili differenziato dall'orizzonte umifero o da uno strato a differente struttura*).

Le interpolazioni operate sui dati degli indicatori morfologici, hanno permesso di definire il parametro *pericolosità* secondo Aulitzky, su gran parte della superficie della conoide.

Per la conoide in esame la cartografia tematica e di sintesi è stata realizzata utilizzando come base la C.T.R. ingrandita in scala 1: 2.500; sono state considerate celle di 1.6 cm di lato, pari ad un passo di 40 m.

Si precisa che, nelle tavole allegate, in legenda sono state riportate tutte le risposte previste da Aulitzky, anche quando non presenti nella situazione in esame.

6.3 VALUTAZIONE EMPIRICA DEI VOLUMI DI SEDIMENTO POTENZIALMENTE TRASPORTATI DALLE COLATE DETRITICHE

6.3.1. Metodo di Hampel (1977)

Dalla valutazione eseguita secondo il metodo di Hampel, per il Rio di Prata si ricava quanto segue:

$$M = 150 \times A(Jc-3)^{2.3}$$

A (area del bacino in kmq = 3.45

Jc (pendenza del conoide in %) = 6

 $M = 6475 \ mc$

6.3.2. Metodo di Marchi et Al. (1996)

In merito alla valutazione eseguita secondo il metodo di Marchi et Al., si ricava quanto segue:

$$M = 70000 \times A$$

A (area del bacino in kmq = 3.46

M = 242200 mc

6.3.3. Metodo di Rickenmann (1997)

In merito alla valutazione eseguita secondo questo metodo, si ricava quanto segue:

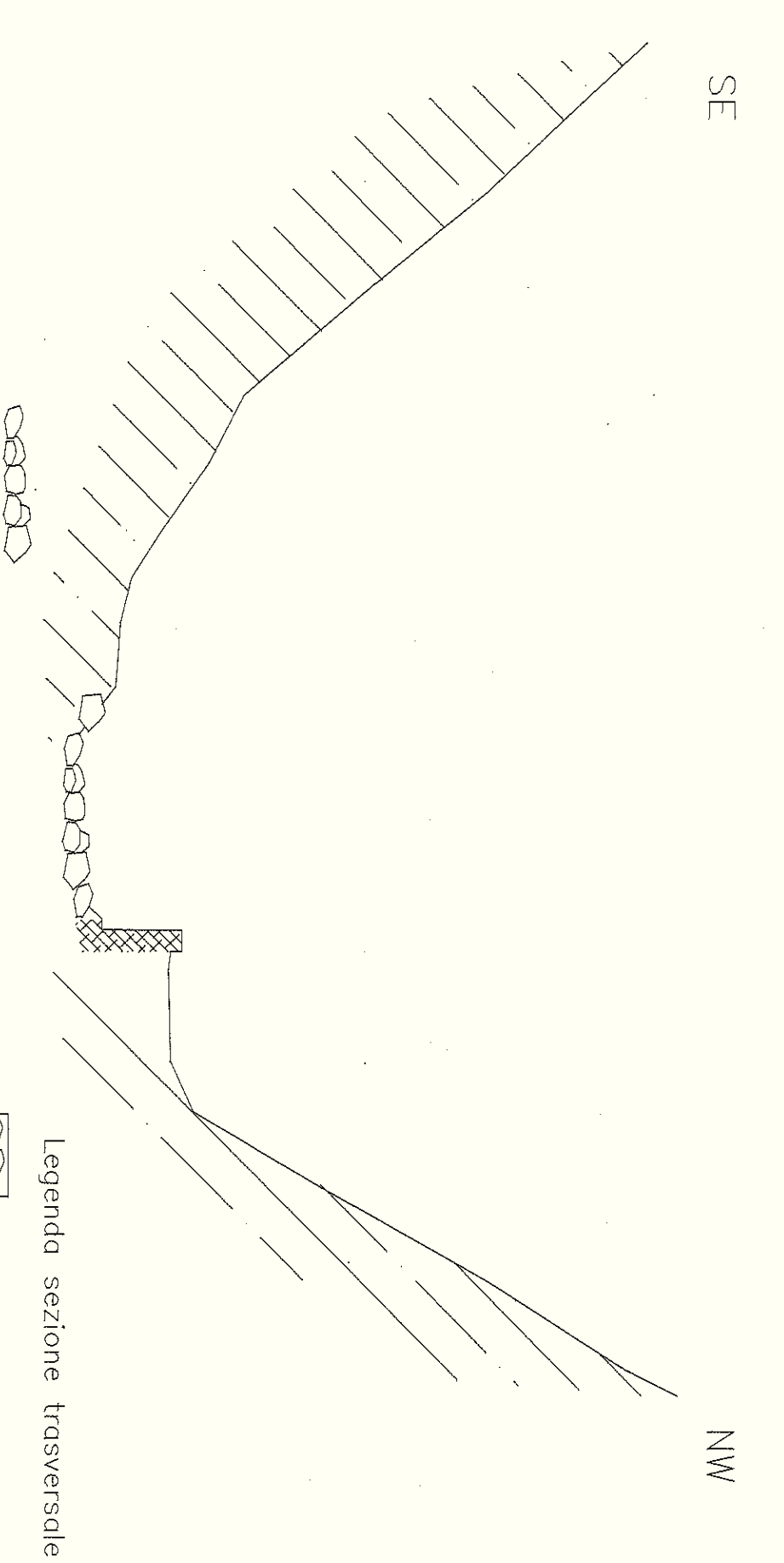
$$M = (110 - 2.5 \times Jc) \times L$$

Jc (pendenza del conoide in %) = 6

L (distanza percorsa dalla colata in m) = 560

 $M = 53000 \ mc$

Conoide Rio di Prata Sezione apicale — scala 1: 200



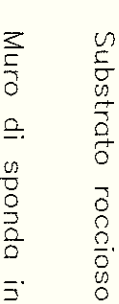
Livello idrometrico alla data della misura: 0.05 m

Vegetazione in alveo assente

Data: 18 novembre 1998



Depositi incoerenti



Muro di sponda in c.a.

